

Astrosejsmologia

Aleksiej Pamiatnych

Centrum Astronomiczne im. M. Kopernika PAN, Warszawa

Astrosejsmologia – badanie budowy wewnętrznej gwiazd za pośrednictwem analizy widma częstotliwości ich pulsacji.

Dla Ziemi – sejsmologia (analiza drgań, spowodowanych trzęsieniami ziemi albo wybuchami jądrowymi),
dla Słońca – heliosejsmologia.

Proponowany kalendarz 11 lekcji :

13 marca, wtorek, godz. 10.00 (lekcja 1).

27 marca, wtorek, godz. 10.00 (lekcje 2 i 3).

17 kwietnia, wtorek, godz. 10.00 (lekcje 4 i 5).

24 kwietnia, wtorek, godz. 10.00 (lekcje 6 i 7).

15 maja, wtorek, godz. 10.00 (lekcje 8 i 9).

29 maja, wtorek, godz. 10.00 (lekcje 10 i 11).

12 czerwca, wtorek, godz. 10.00 – zaliczenie (egzamin).

Źródła-podręczniki:

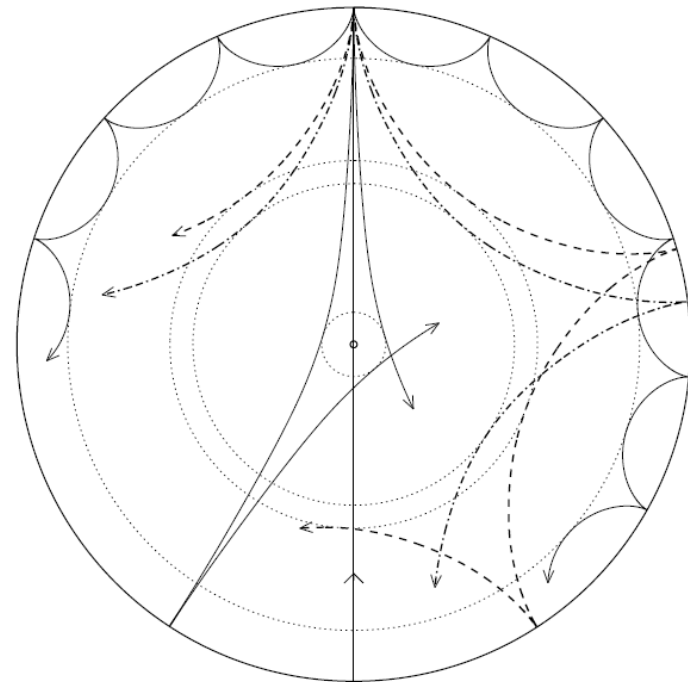
- **J. Christensen-Dalsgaard, Stellar oscillations, 2003, 276 stron.
File JCD_course.pdf.**
- **C. Aerts, Asteroseismology, 2005, 152 strony.
File Aerts_course.pdf.**
- **C. Aerts, J. Christensen-Dalsgaard, D. W. Kurtz,
Asteroseismology, 2010, Springer, 866 stron.
Książka.**
- **A. Gautschy, H. Saio, Stellar pulsations across the HR diagram.
Part 1: Ann. Rev. Astron. Astrophys., 1995, 33, 75.
Part 2: Ann. Rev. Astron. Astrophys., 1996, 34, 551.**
- **C. Aerts et al., The current status of Asteroseismology,
Solar Phys., 2008, 251, 3 (astro-ph 0803.3527, 25.03.2008)**
- **Kilka oryginalnych artykułów ostatnich lat.**
- **W. A. Dziembowski,
Wykład „Wielomodalne pulsacje gwiazd – asterosejsmologia”.**

Lecture Notes on

Stellar Oscillations

Jørgen Christensen-Dalsgaard

Institut for Fysik og Astronomi, Aarhus Universitet
Teoretisk Astrofysik Center, Danmarks Grundforskningsfond



Fifth Edition

May 2003

1) File JCD_course.pdf

ASTEROSEISMOLOGY

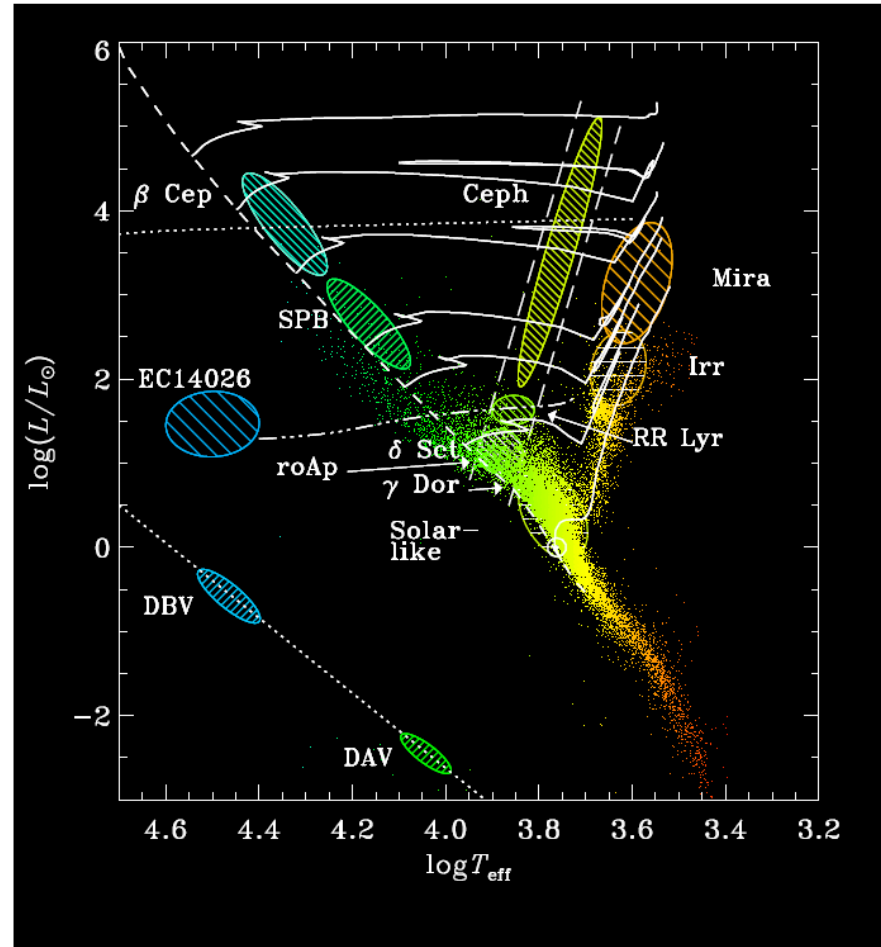


Figure kindly provided by Professor Jørgen Christensen-Dalsgaard, Aarhus University, Denmark

Lecture notes by Conny Aerts

Catholic University of Leuven, Belgium

Academic year 2004 – 2005

ASTRONOMY AND ASTROPHYSICS LIBRARY

C. Aerts
J. Christensen-Dalsgaard
D.W. Kurtz

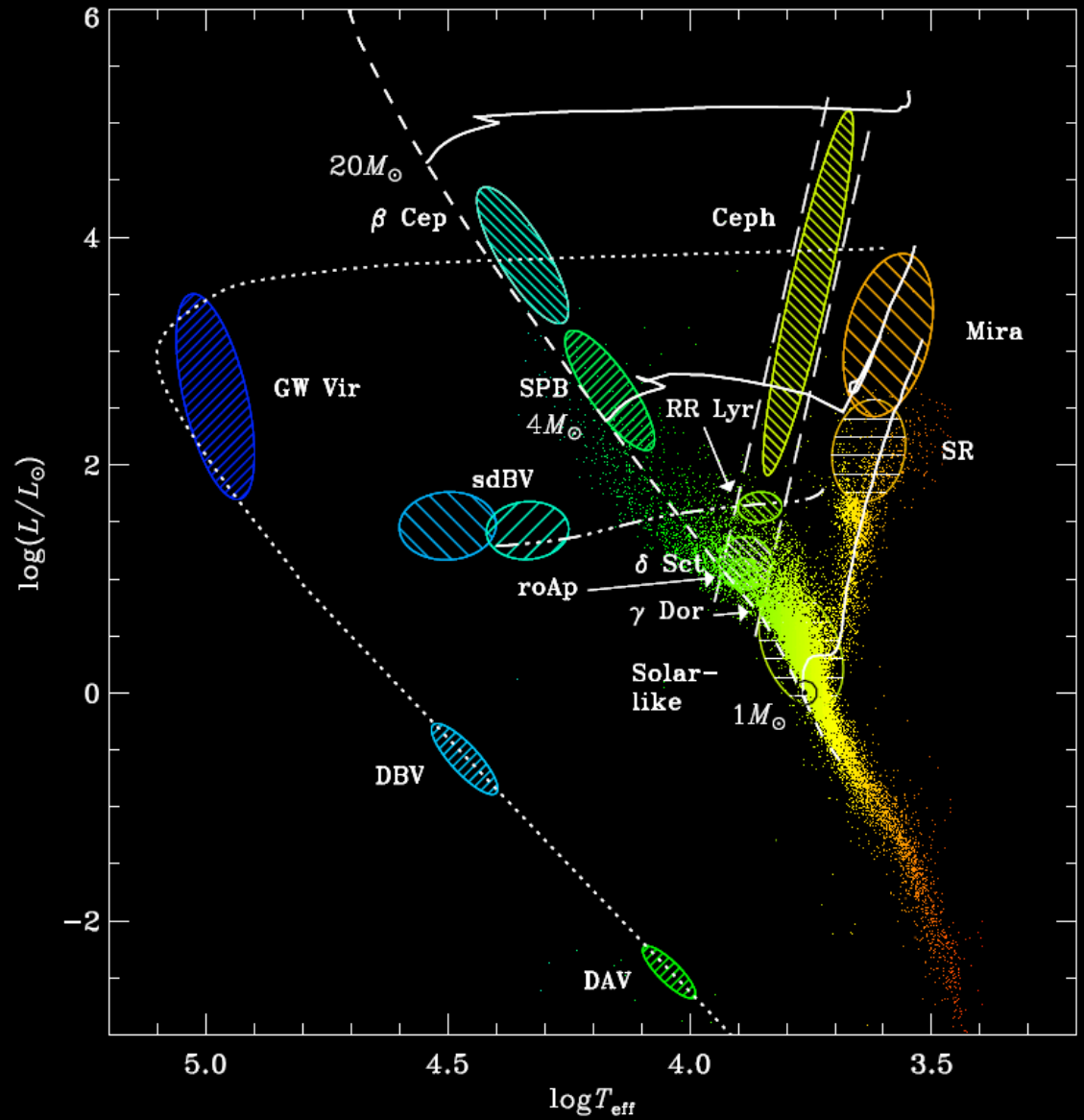
Asteroseismology


LIBRARY

 Springer

3) Książka, 2010, 866 stron.

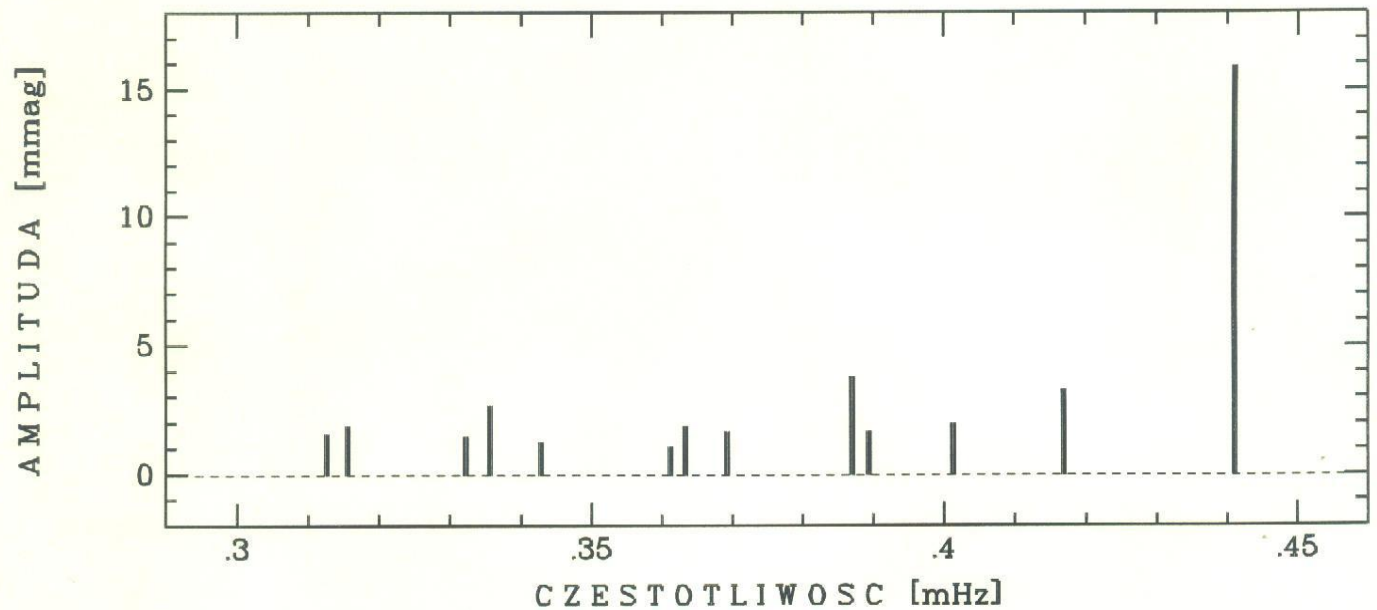
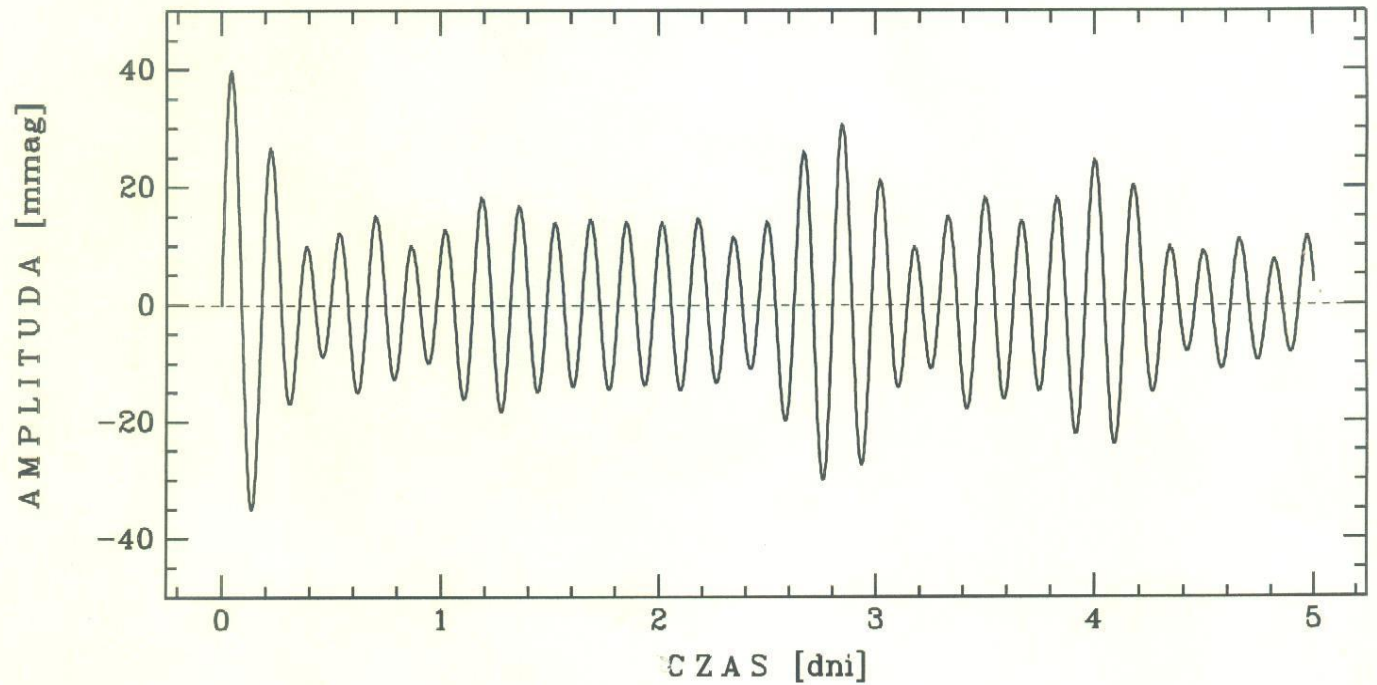
Pulsating stars in the HRD



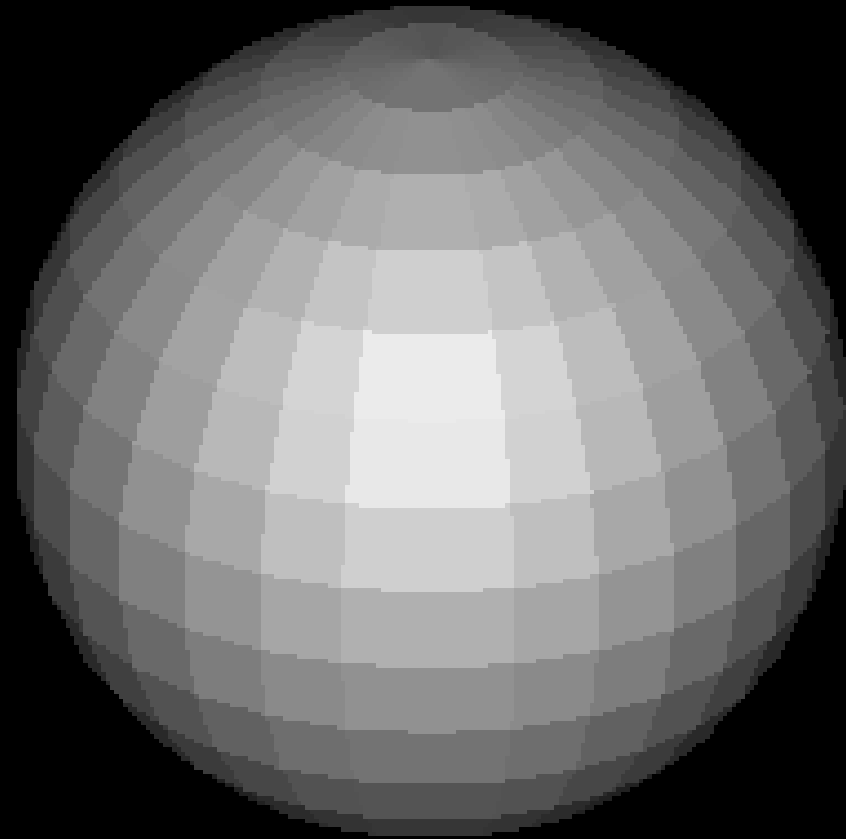
Typy wielomodalnych gwiazd pulsujących

TYP	M/M_{\odot}	$\log T_{\text{eff}}$	okresy	mody
DAV (ZZ Ceti)	0.4 - 1.	4.05 - 4.10	2 - 15 min	g
DBV	~ 0.6	4.33 - 4.40	2 - 15 min	g, $n \ll -1$
DOV (GW Vir) i PNNV	0.6	4.8 - 5.15	6 - 30 min	g, $n \ll -1$
sdB (EC140026)	~ 0.5	4.5 - 4.55	1.5 - 6 min	p,g
sdB(długookr.)	~ 0.5	4.4 - 4.45	~ 1 h	g, $n \ll -1$
słońcopodobne	0.9 - 1.7	3.61-3.79	3 - 16 min	p, $n \gg 1$
γ Dor	~ 1.5	3.8 - 3.84	0.3 - 1.5 d	g, $n \ll -1$
roAp	1.8 - 2	~ 3.85	6 - 15 min	p, $n \gg 1$
δ Sct	1.5 -2.5	3.84 - 3.93	0.02 - 0.3 d	p, g
SPB(53 Per)	3 - 8	4.10 - 4.25	0.5 - 4 d	g, $n \ll -1$
β Cep	8 - 16	4.35 - 4.45	0.07 -0.3 d	p, g

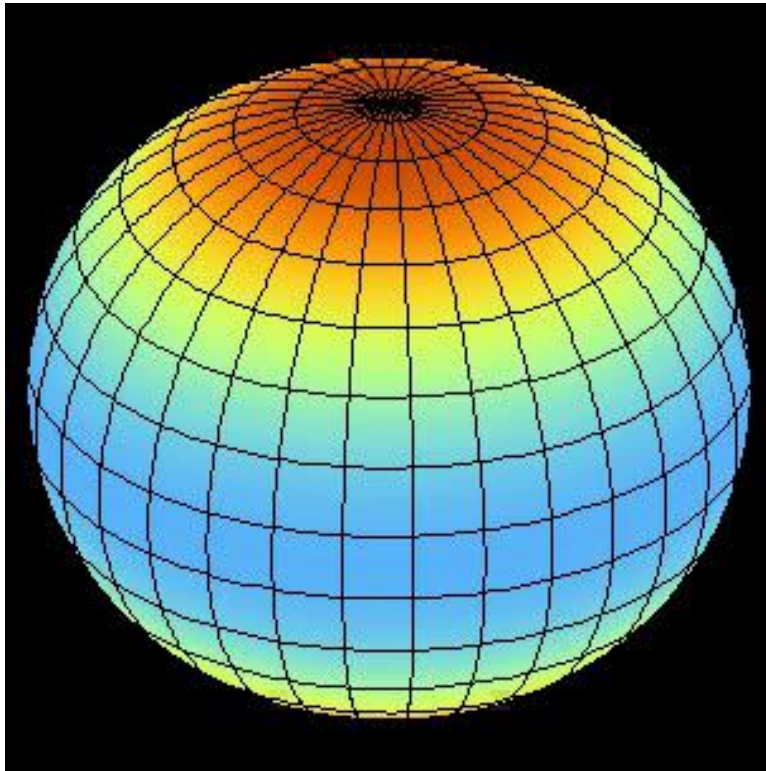
**Krzywa zmian
blasku i
widmo amplitud
pusacji gwiazdy
XX Pyxidis**



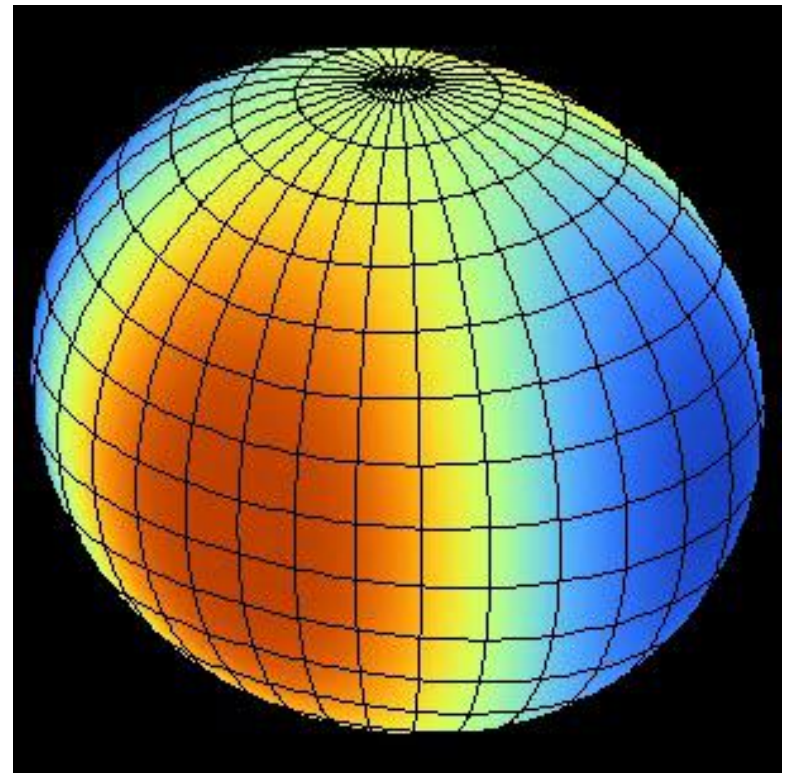
Radialne pulsacije



Non-radial modes: quadrupole modes



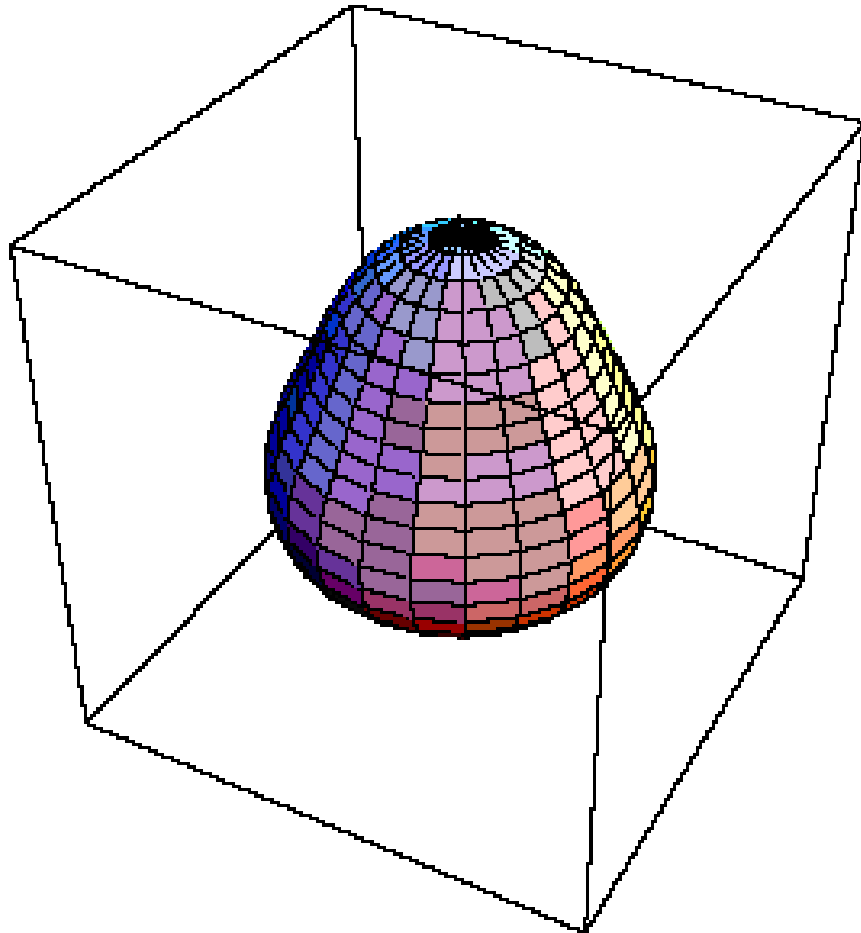
$l=2, m=0$



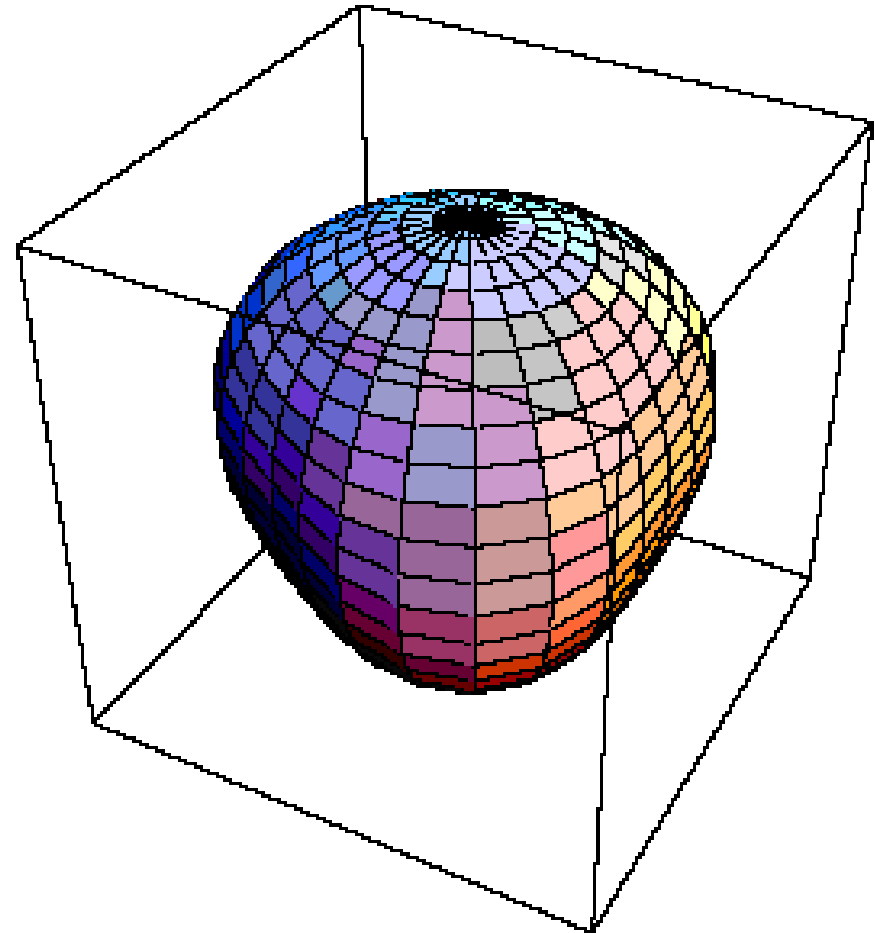
$l=2, m=2$

Oscylacje nieradialne oktopolowe, $l=3$:

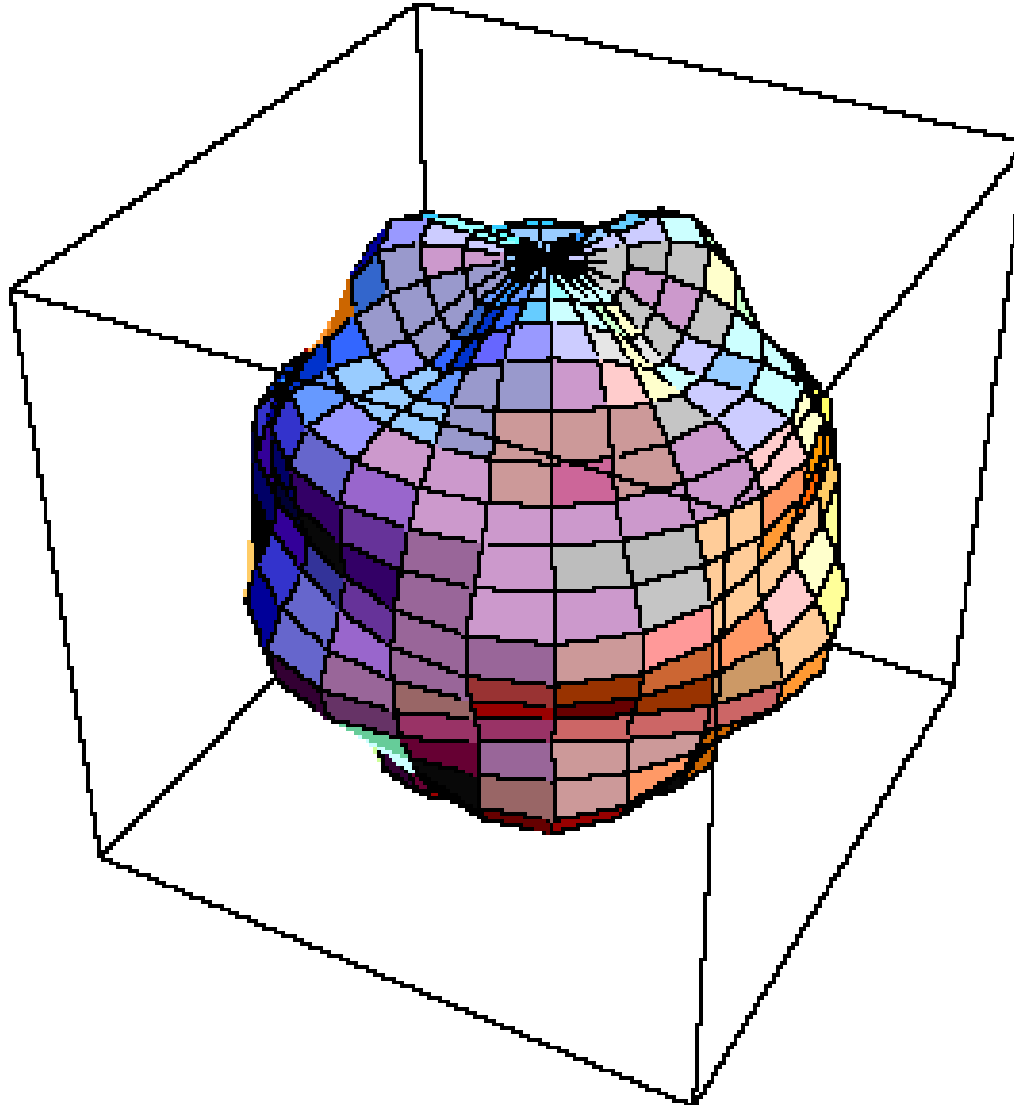
$m=0$



$m=3$



Oscylacje nieradialne, $l=8$, $m=3$:



Przykłady geometrii oscylacji nieradialnych:

a) $l=1, m=0$

b) $l=1, m=1$

c) $l=2, m=0$

d) $l=2, m=1$

e) $l=2, m=2$

f) $l=3, m=0$

g) $l=3, m=1$

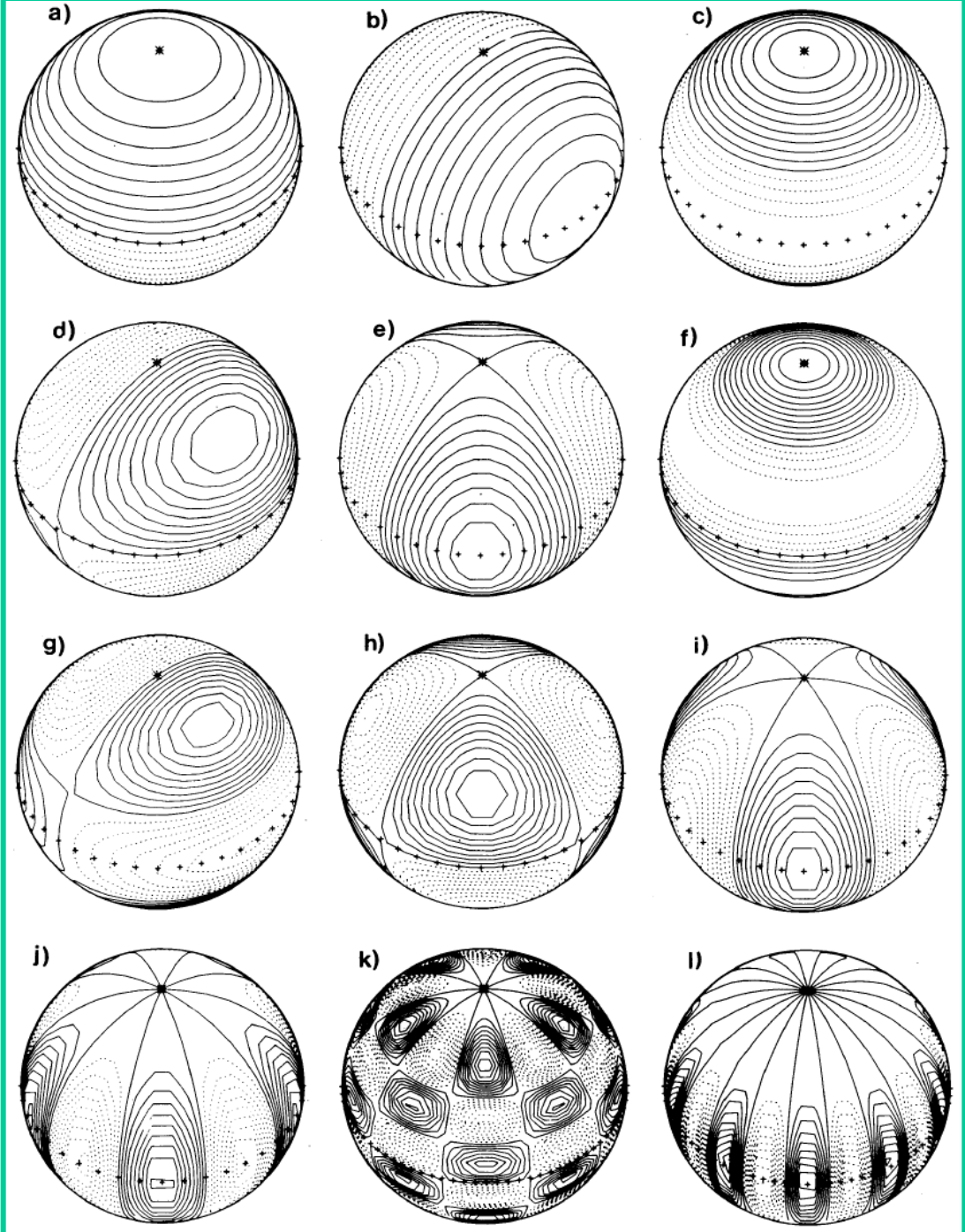
h) $l=3, m=2$

i) $l=3, m=3$

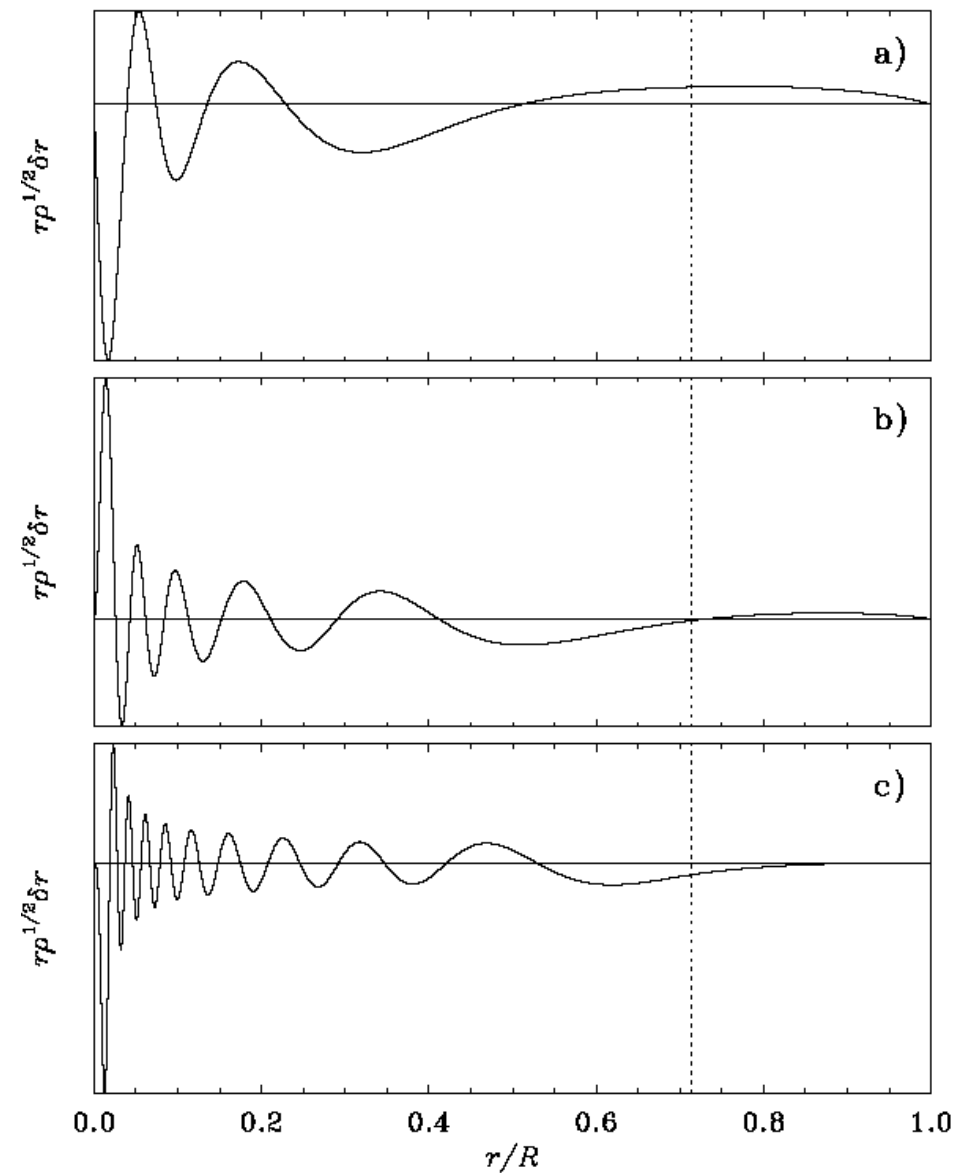
j) $l=5, m=5$

k) $l=10, m=5$

l) $l=10, m=10$

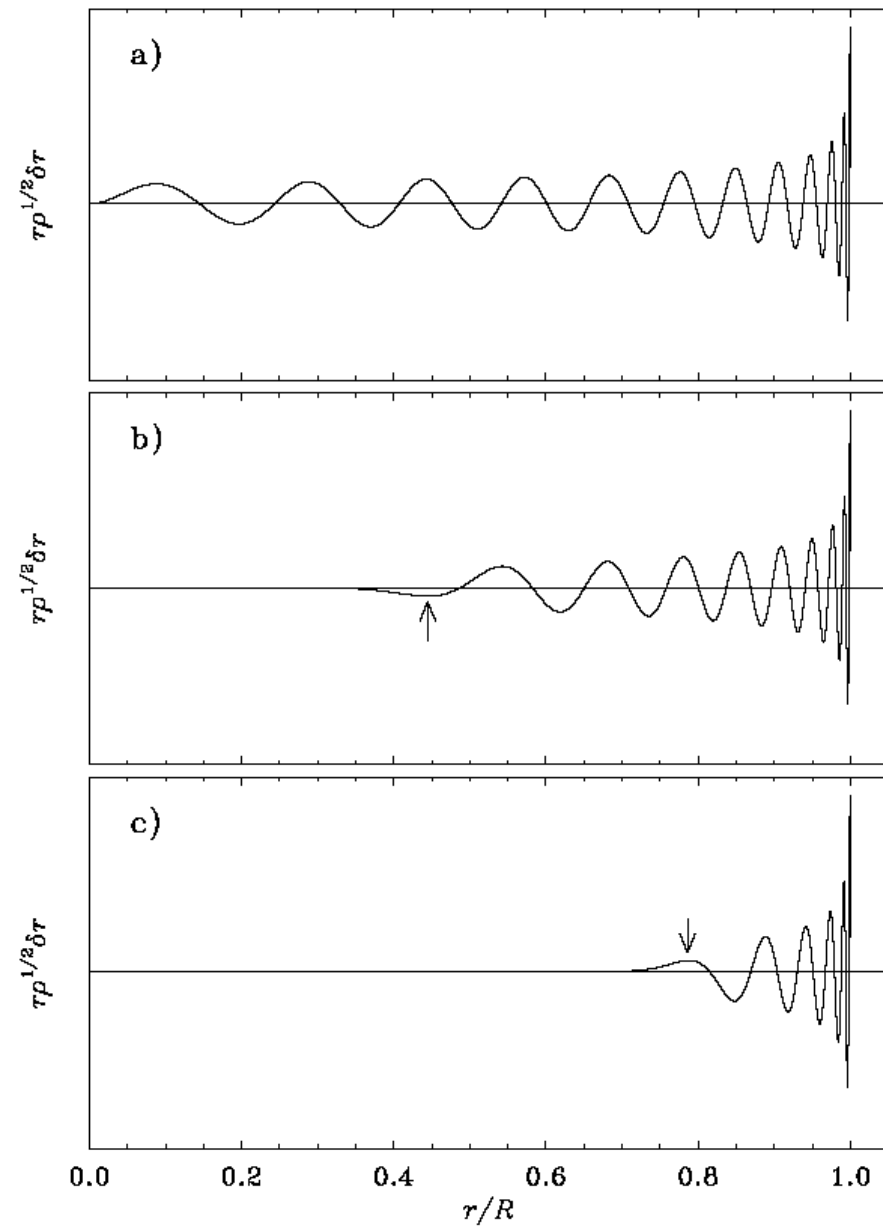


Mody grawitacyjne

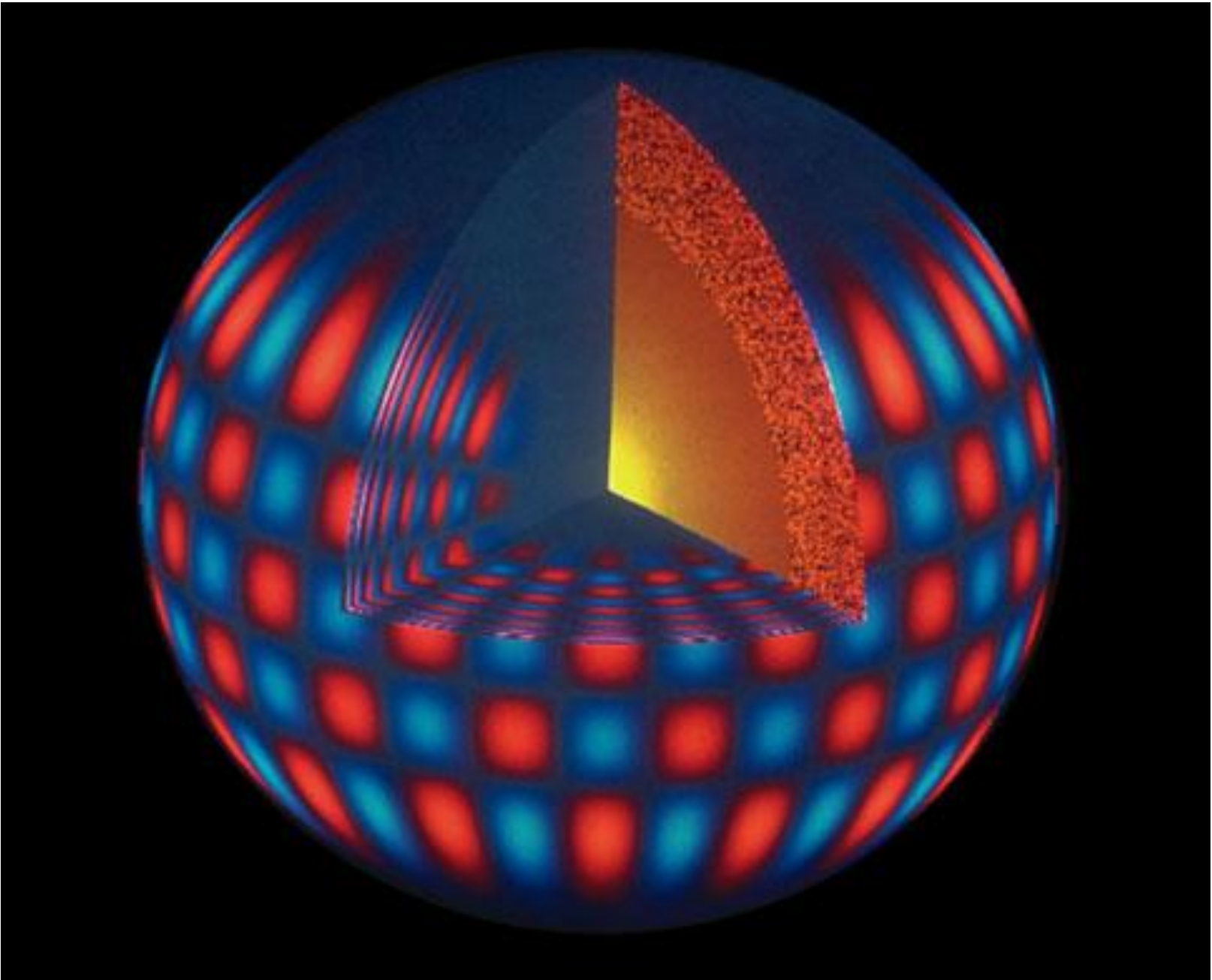


$(l,n)=(1,5), (2,10), (4,19), \nu=100\mu\text{Hz}$

Mody akustyczne (ciśnieniowe)



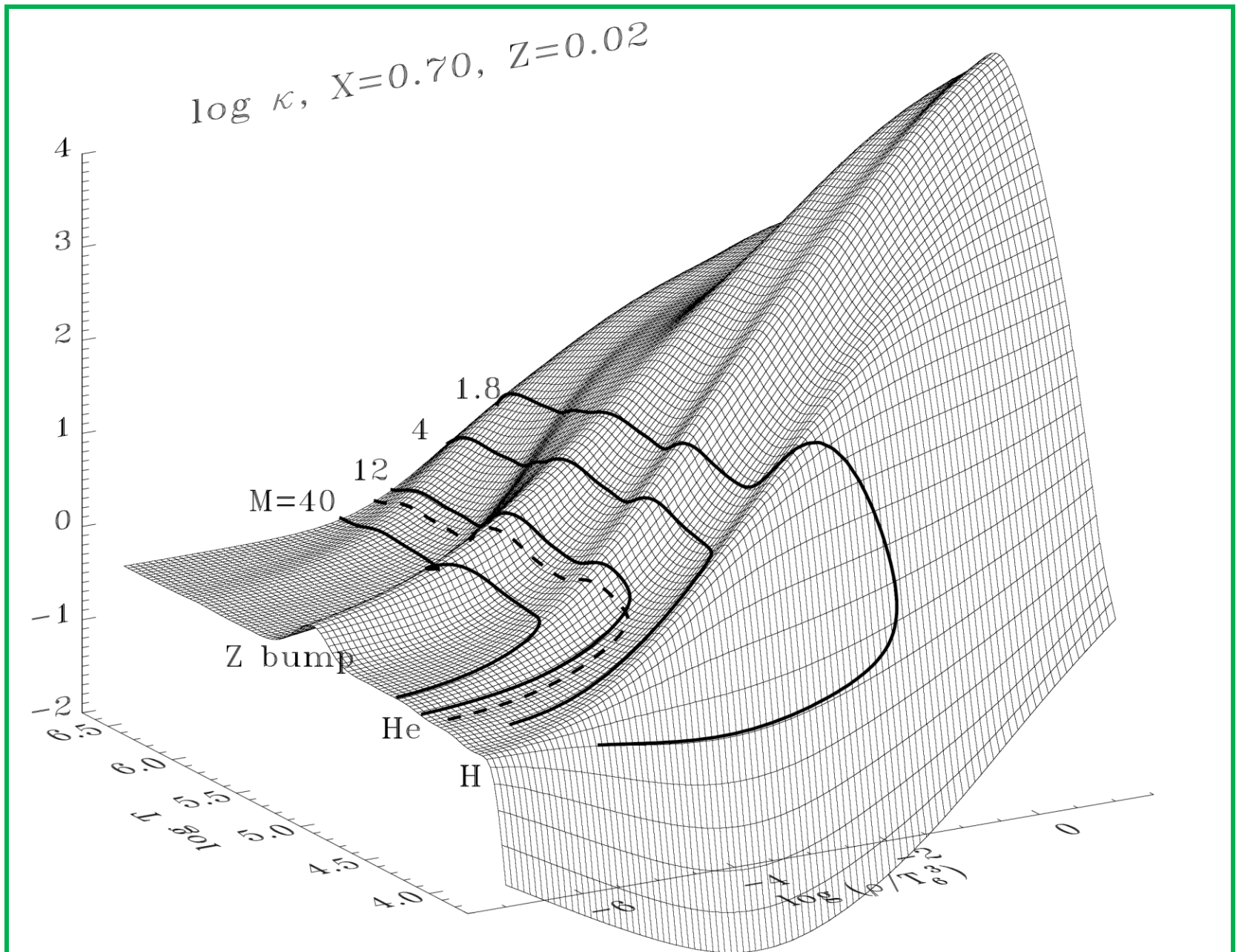
$(l,n)=(0,23), (20,17), (60,10), \nu=3300\mu\text{Hz}$



Two examples of asteroseismic modelling

- β Cep, SPB and δ Sct instability domains in the HR diagram.
Hybrid stars (with both β Cep and SPB pulsations)
- ν Eridani – a slow rotating hybrid star
- 44 Tauri – a very slow rotating δ Sct star

Opacity behaviour at astrophysical conditions [κ OPAL 1996]

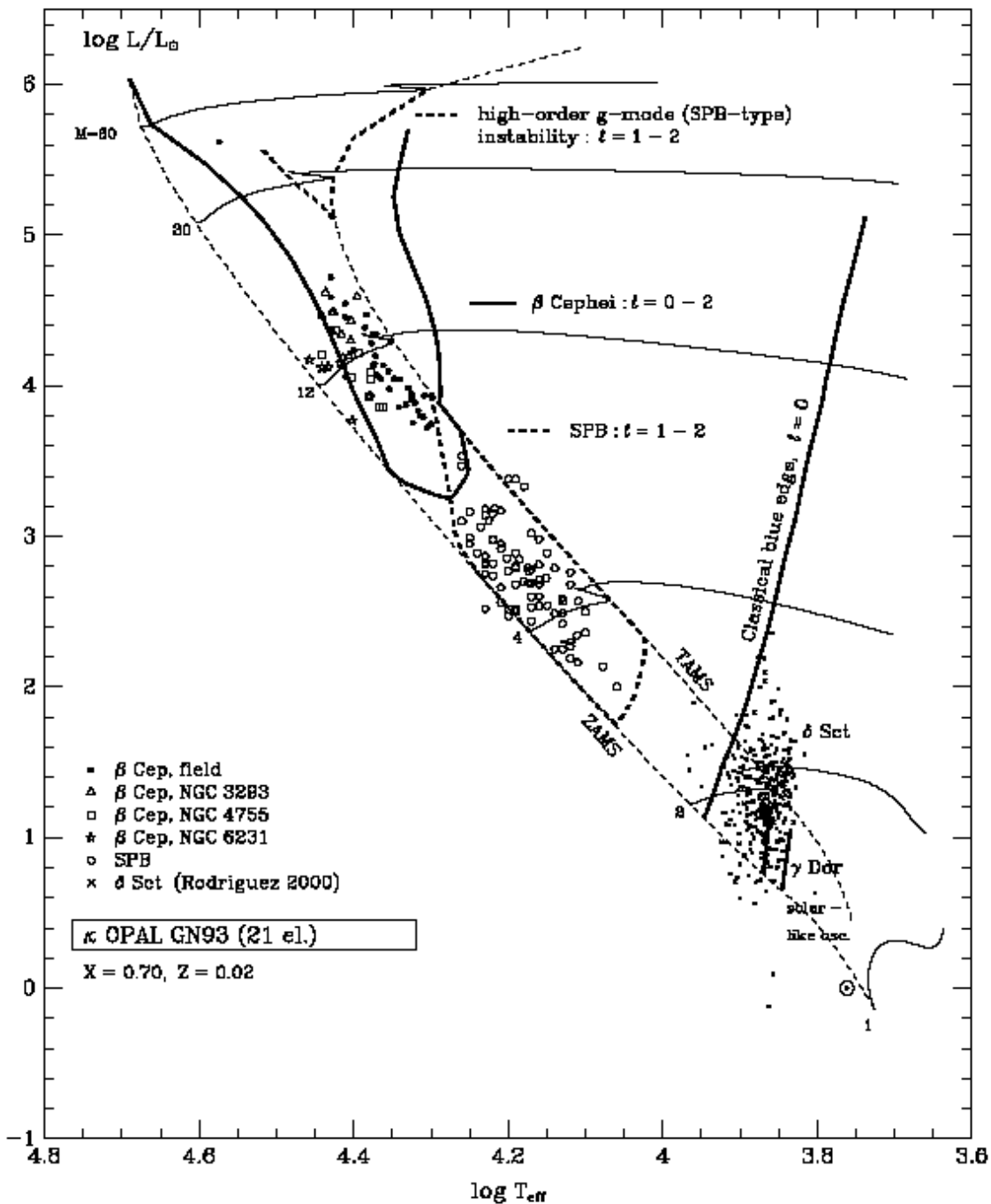


κ OPAL GN93 (Livermore, 1996):

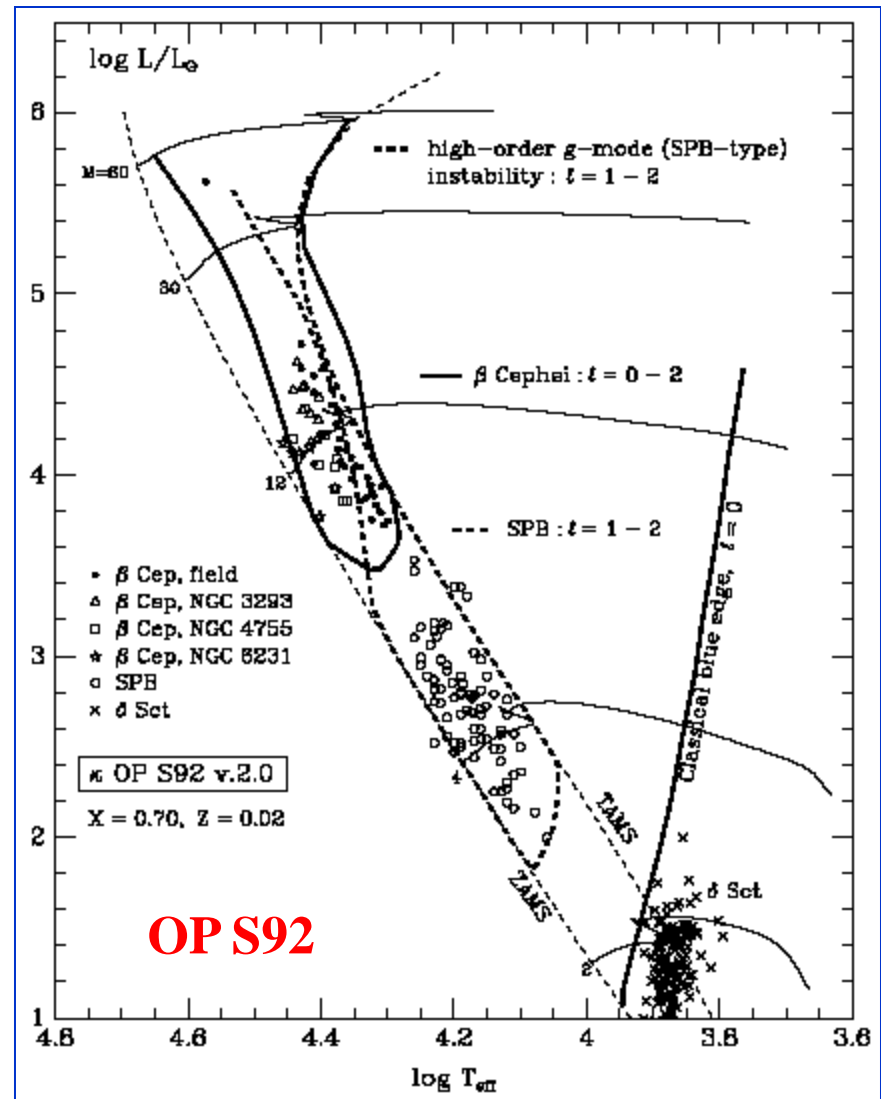
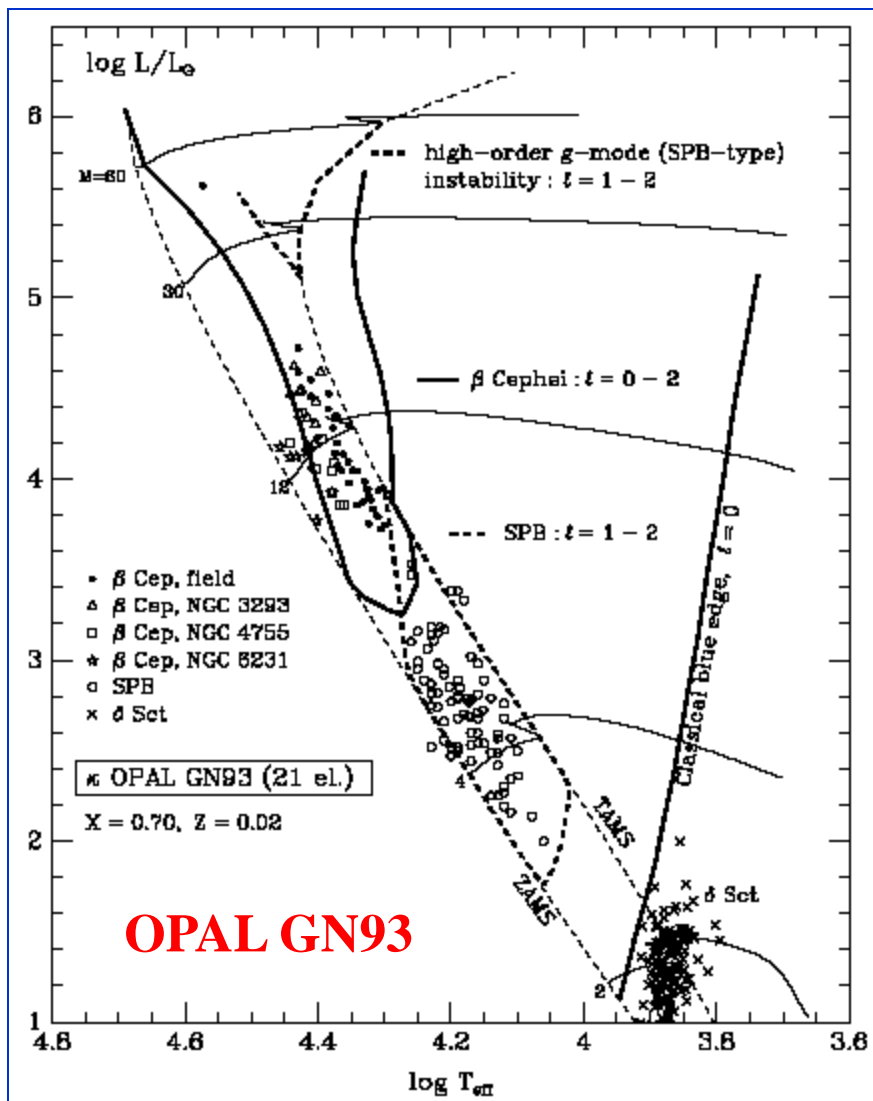
Instability domains

in the Upper MS

$X=0.70, Z=0.02$



Instability domains in the Upper Main Sequence: OP vs OPAL



Hybrid pulsations (overlap of β Cep and SPB domains) are sensitive to the opacity choice

**Four stars
in the HRD:**

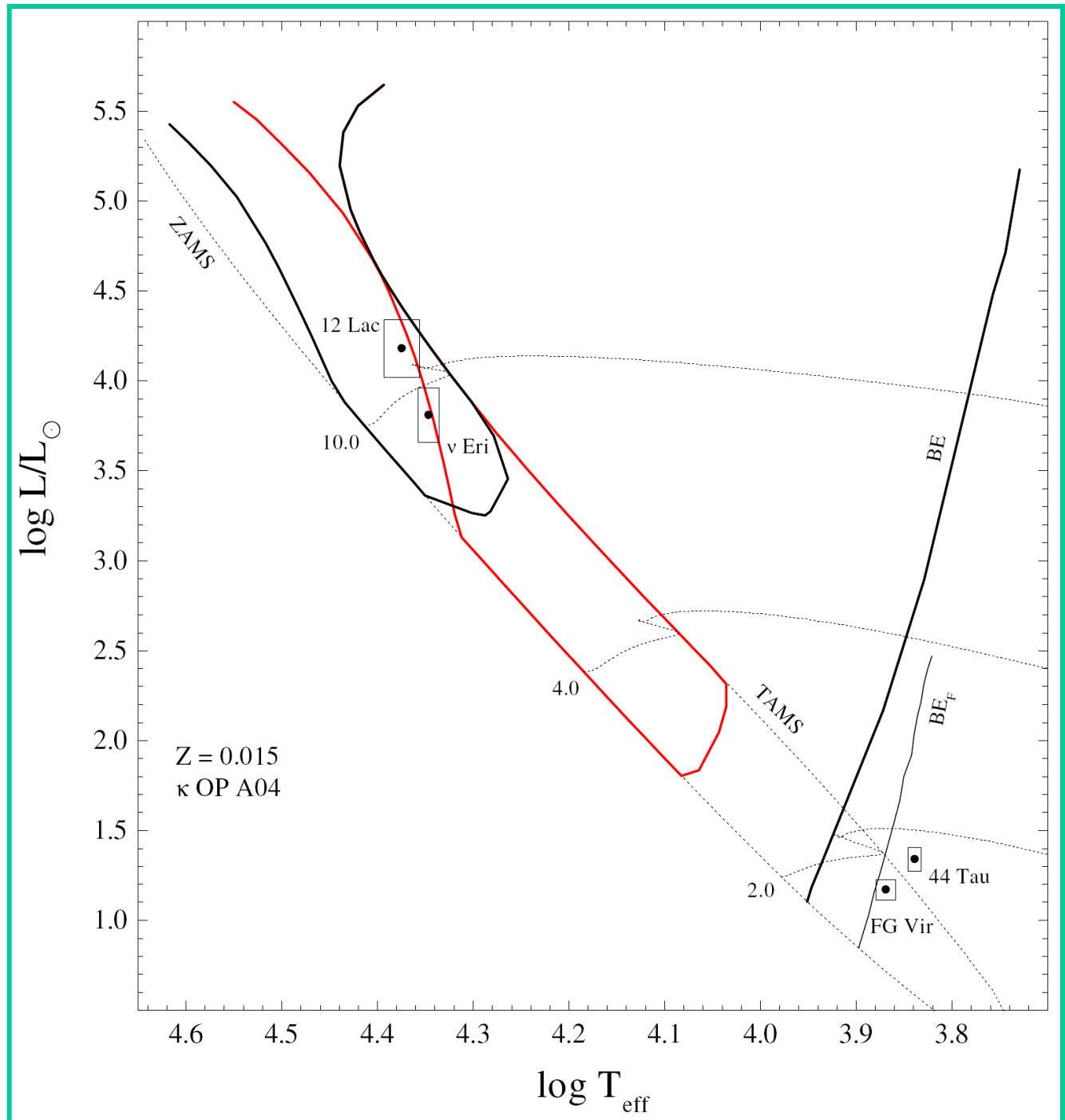
12 Lacertae

ν Eridani

44 Tauri

FG Vir

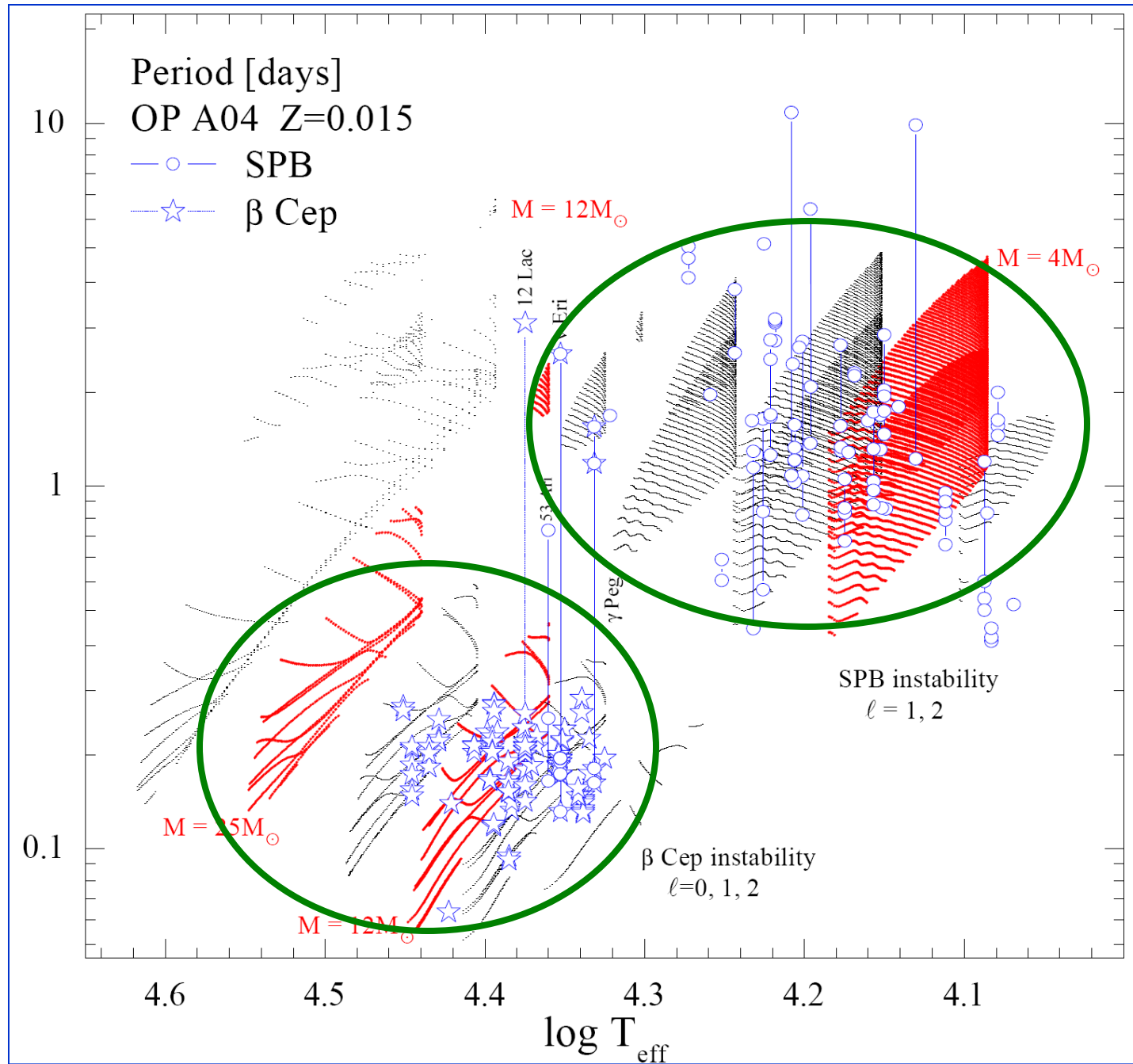
**β Cep and SPB
instability
domains,
Blue Edge of the
Classical
instability strip**



Periods of observed β Cep and SPB stars in domains of theoretical periods of unstable modes

κ OPA04
 $Z=0.015$

Some hybrid stars (with both β Cep and SPB pulsations) are clearly seen



ν Eridani

14 frequencies (degree l is identified for 8 of them),

Sp B2 III,

$mV = 3.920$,

$\pi = 5.56 \pm 0.88$ mas,

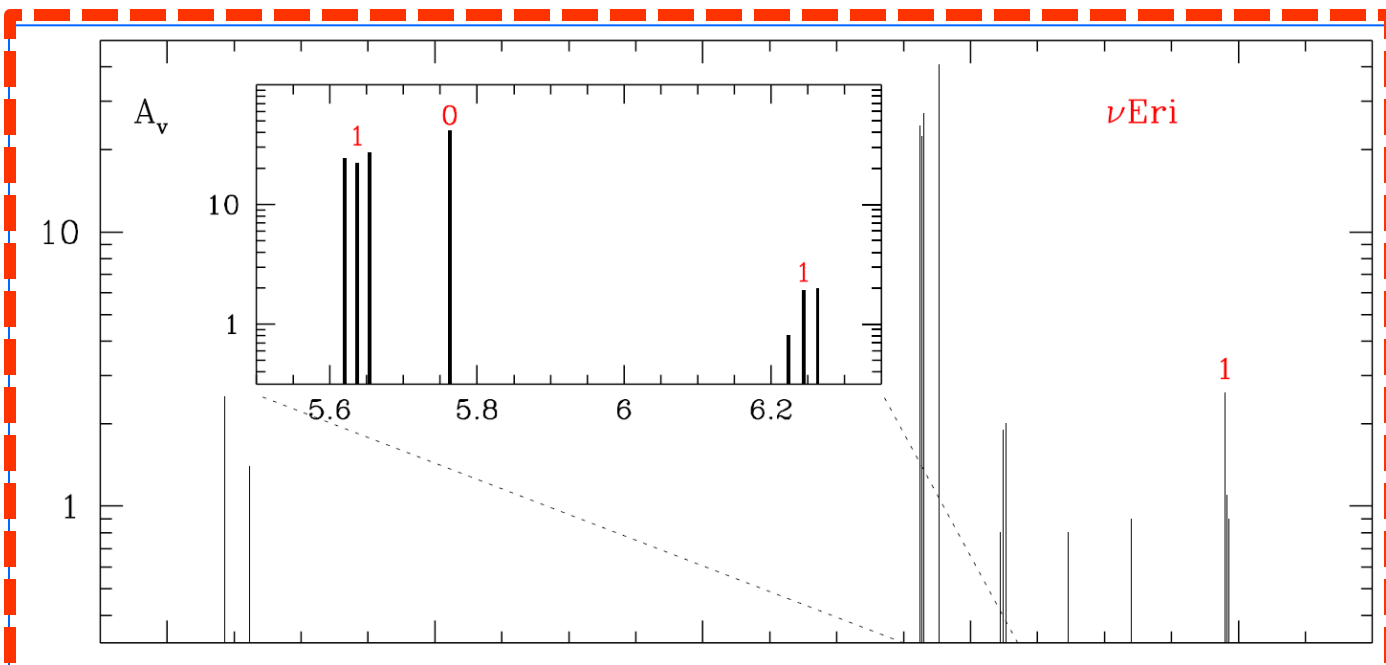
$V_{\text{rot}} = 6$ km/s (SIMBAD: $V_{\text{sini}} = 7, 20, 25$ km/s),

$[m/H] = 0.05 \pm 0.09$,

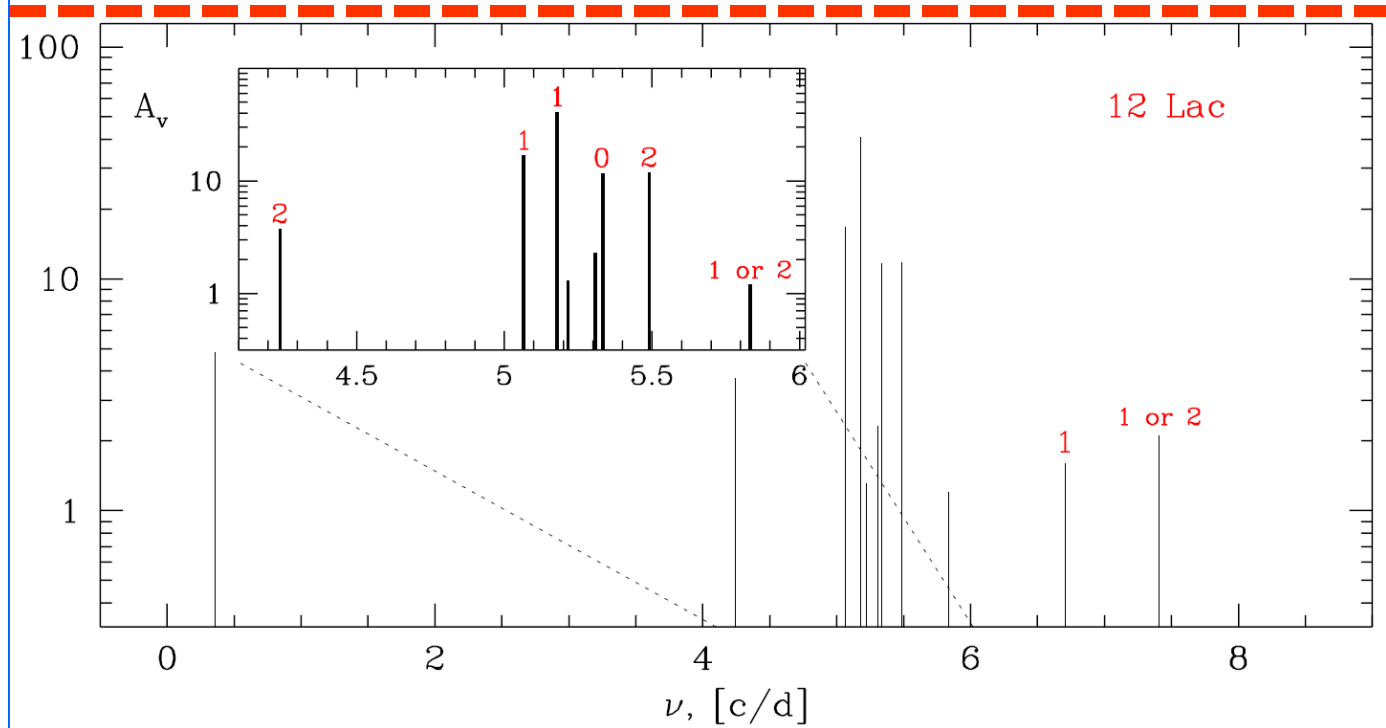
$T_{\text{eff}} = 22200 \pm 600$ K

**Oscillation
spectra of
 ν Eri and 12 Lac**

**ν Eri:
Jerzykiewicz et al. 2005**

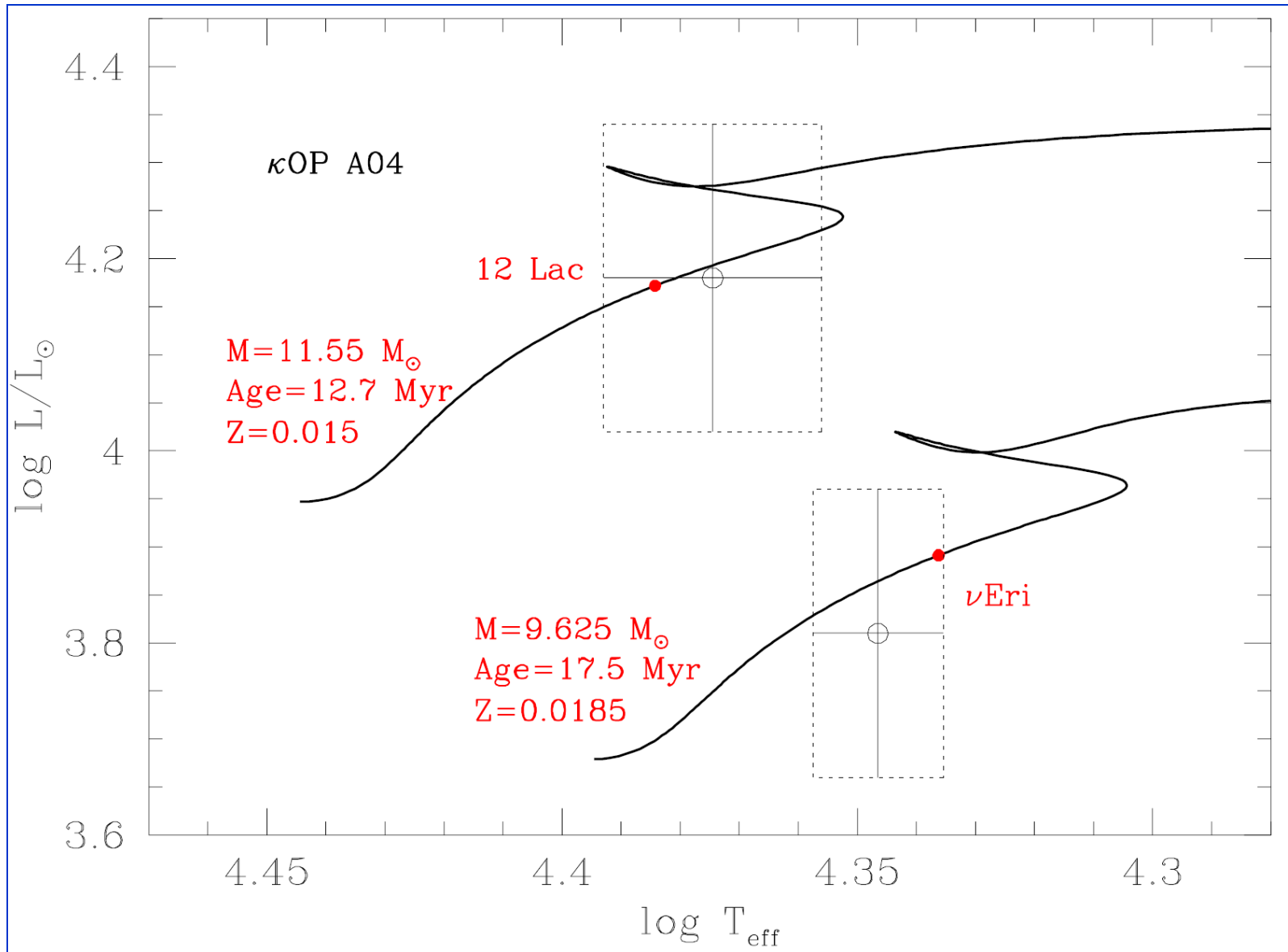


**12 Lac:
Handler et al. 2006**



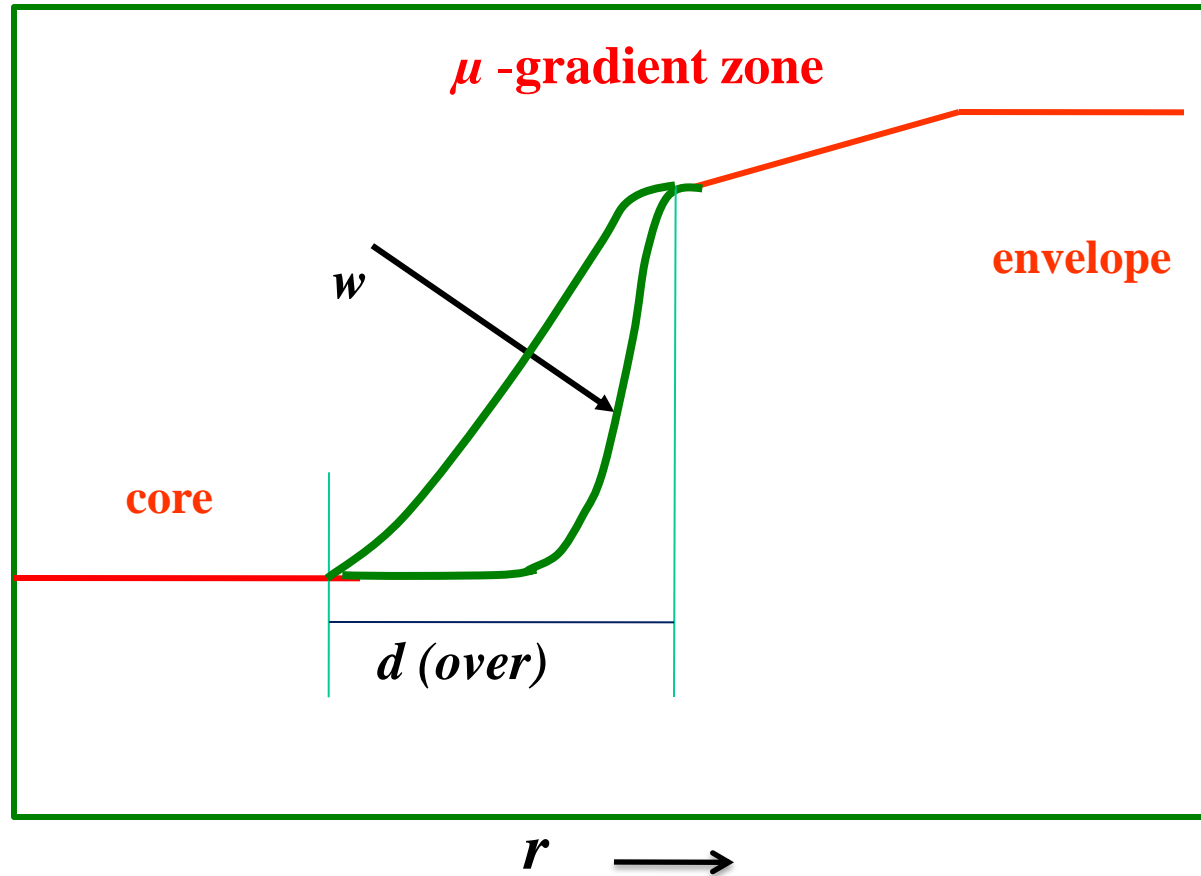
**Dziembowski &
Pamyatnykh 2008**

ν Eri and 12 Lac in the theoretical H-R diagram Red points mark fitted models (3 frequencies for ν Eri are fitted)

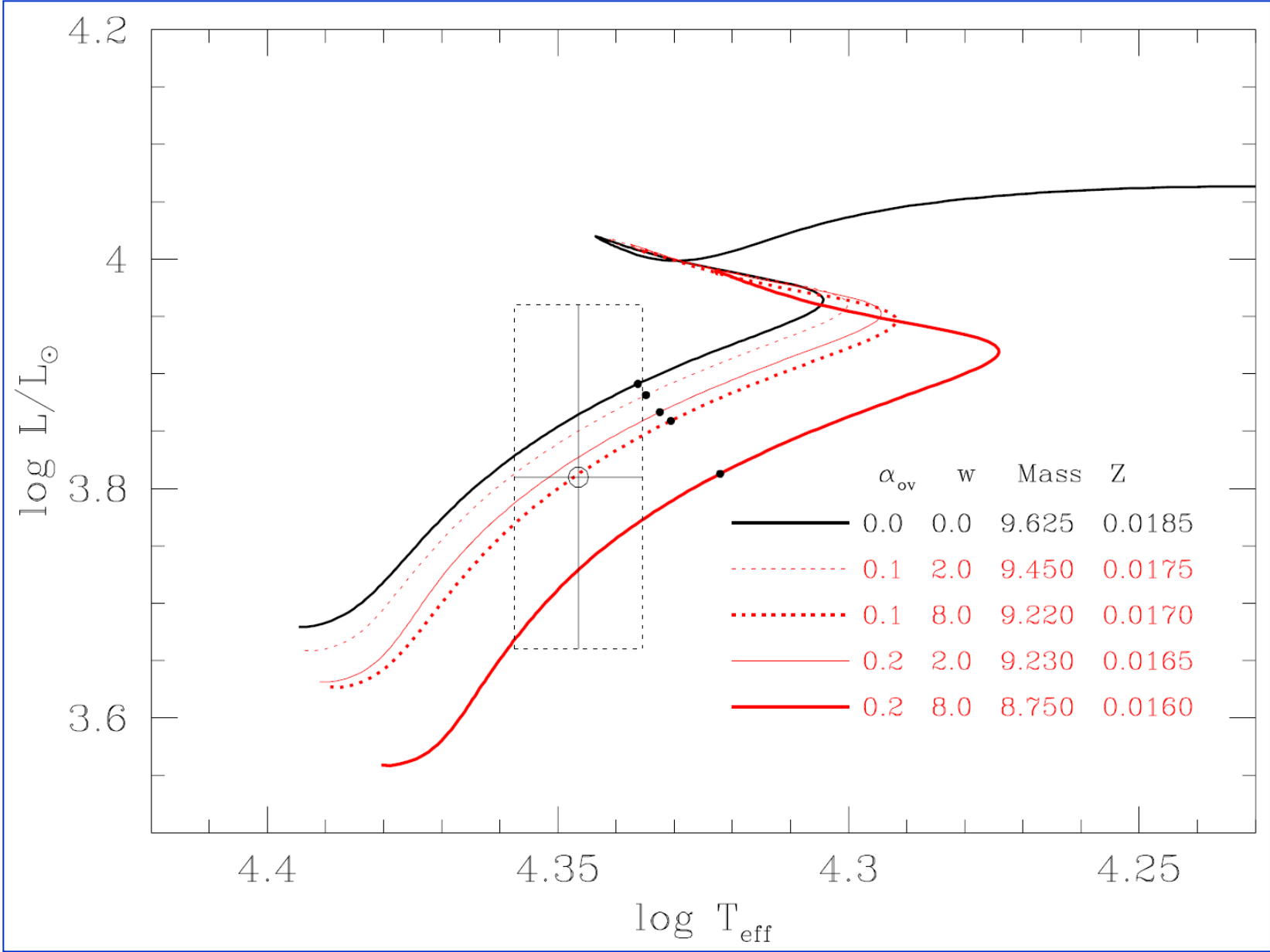


Testing overshooting

Two-parametric overshooting

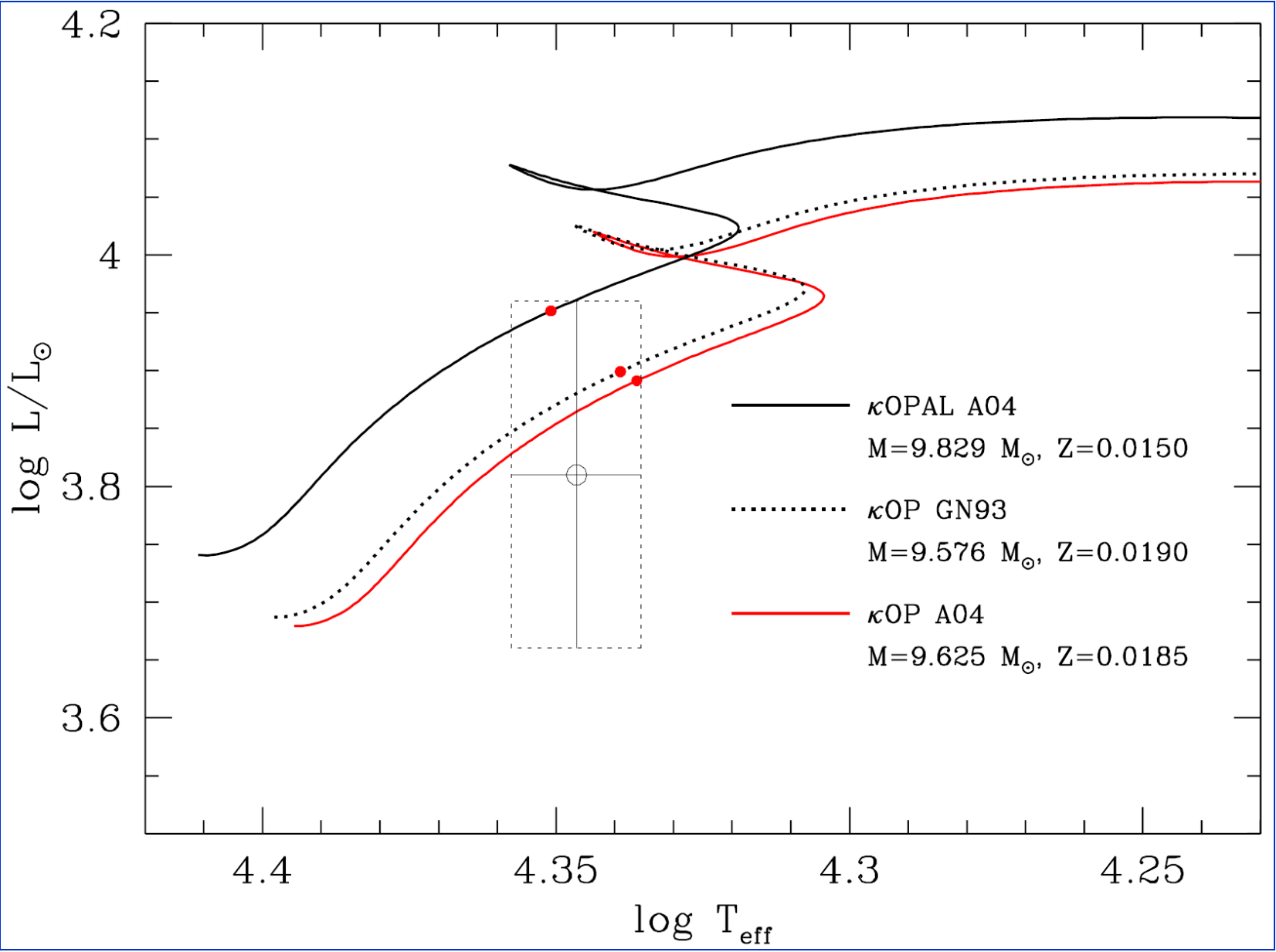


Seismic models of ν Eri for different overshooting parameters in the H-R diagram



Testing opacity

Seismic models of ν Eri for different opacities and mixtures in the H-R diagram

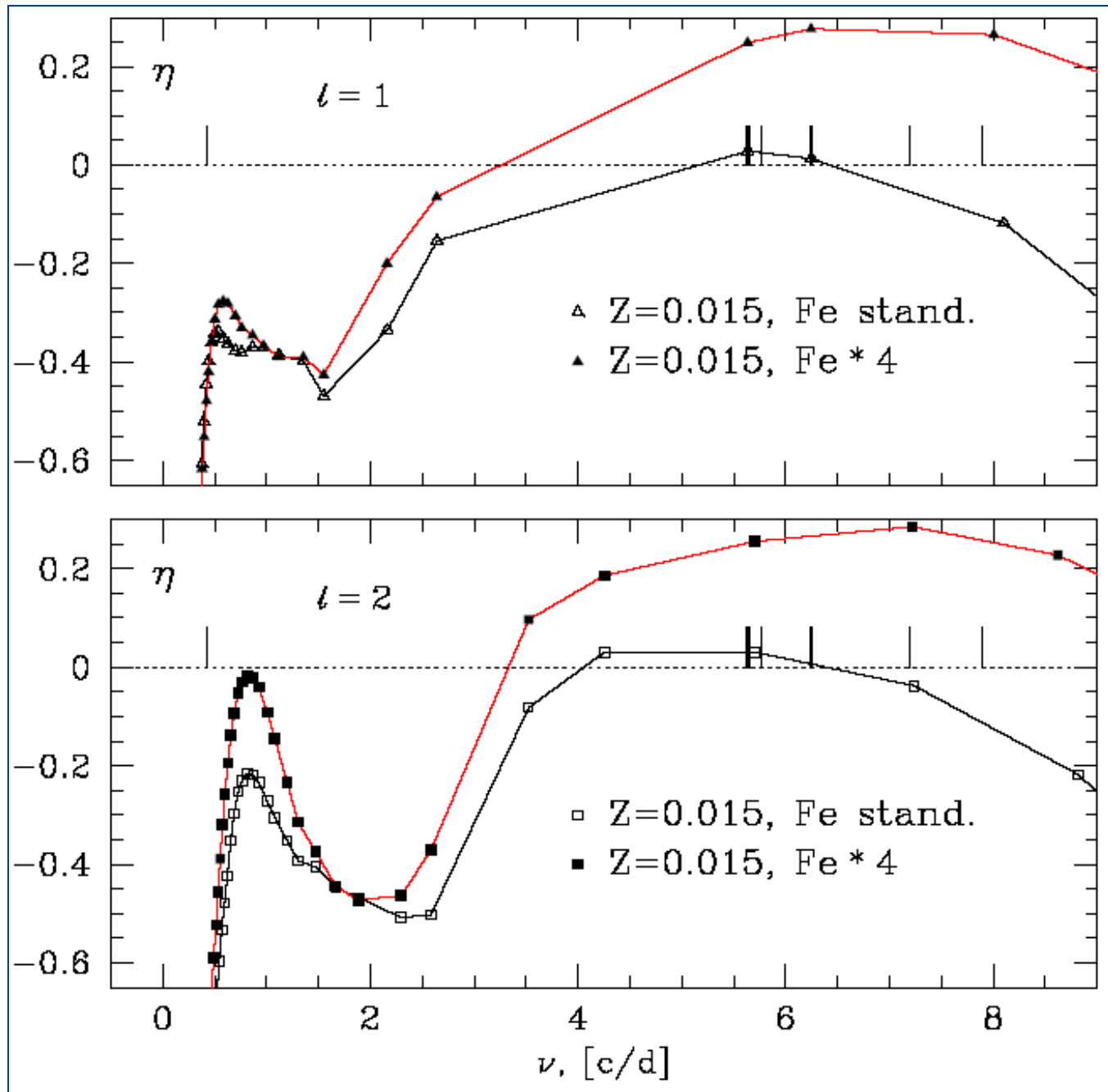


$$\eta = \frac{W}{\int_0^1 \left| \frac{dW}{dr} \right| dr}$$

Instability coefficient
in a standard model
and in the model with
the Fe accumulation
in the driving zone

OPAL opacity in both
cases

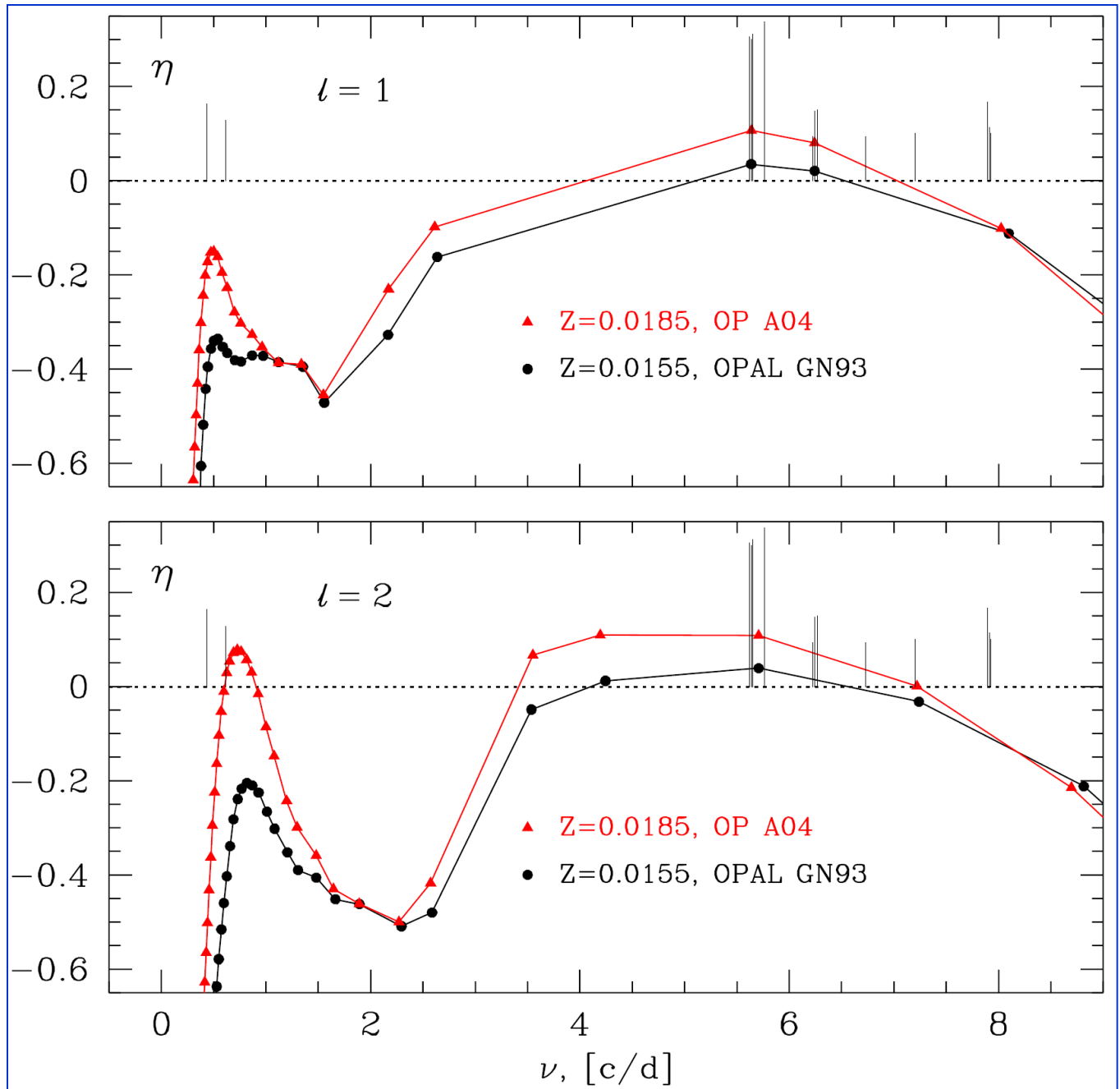
$\eta > 0$ for unstable
modes



$$\eta = \frac{W}{\int_0^1 \left| \frac{dW}{dr} \right| dr}$$

Instability coefficient in models computed with OPAL and OP opacities

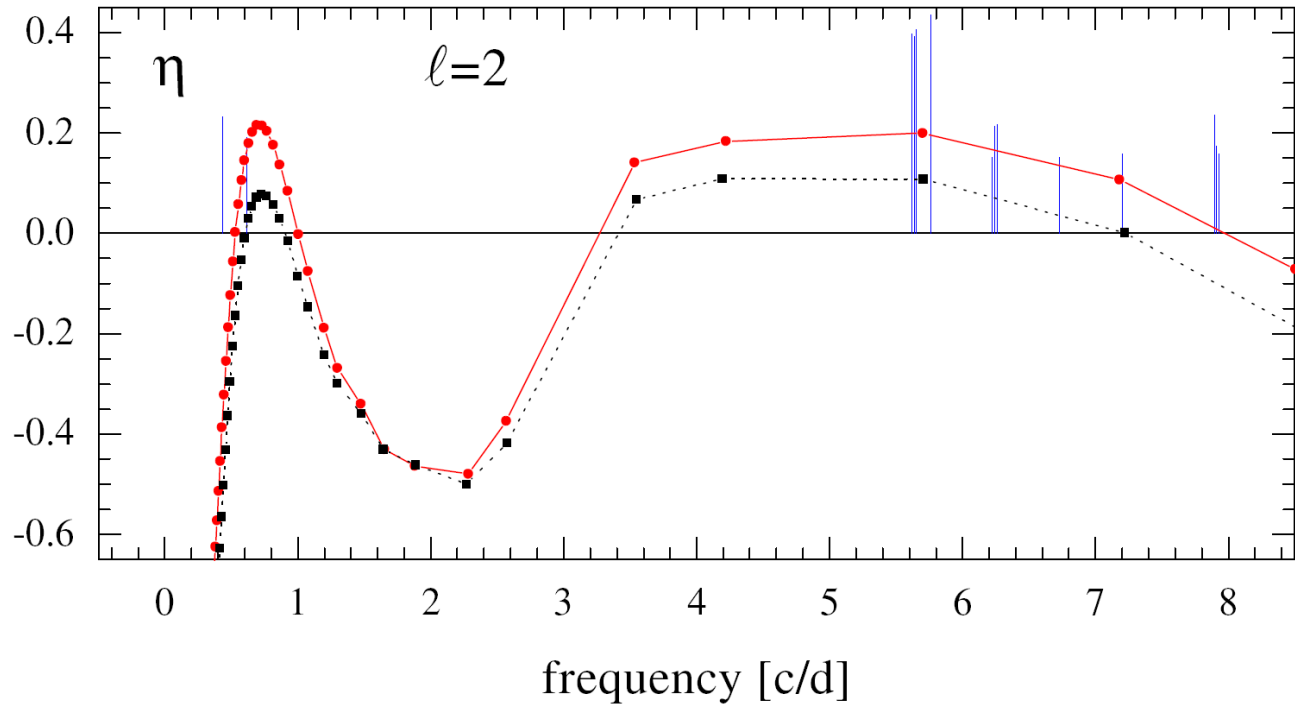
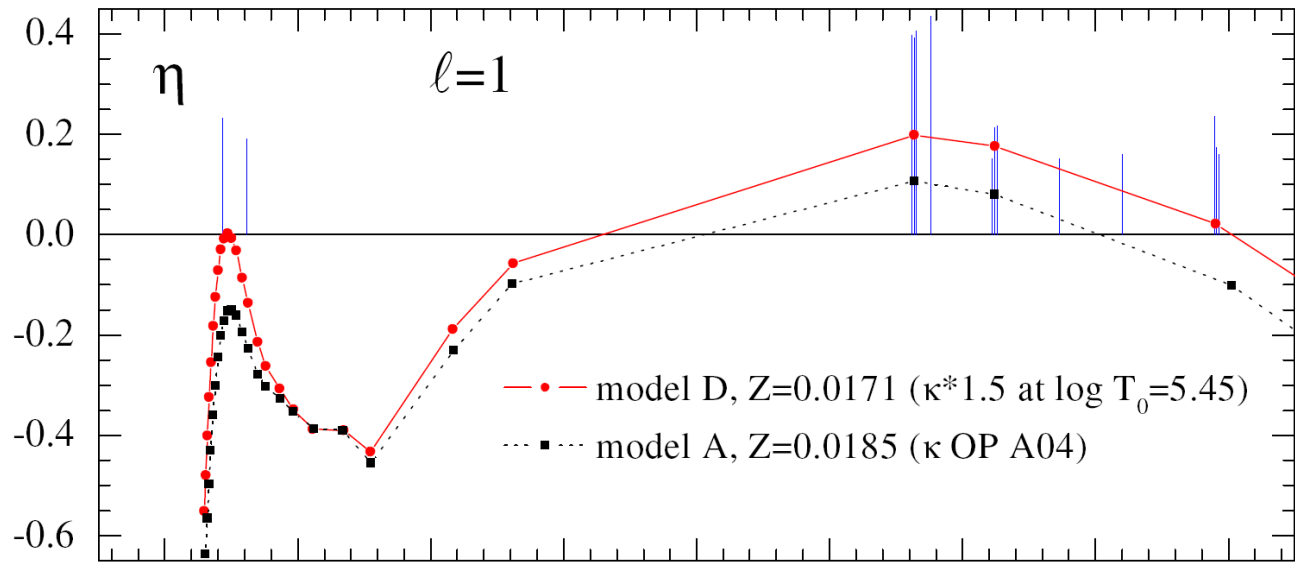
$\eta > 0$ for unstable modes



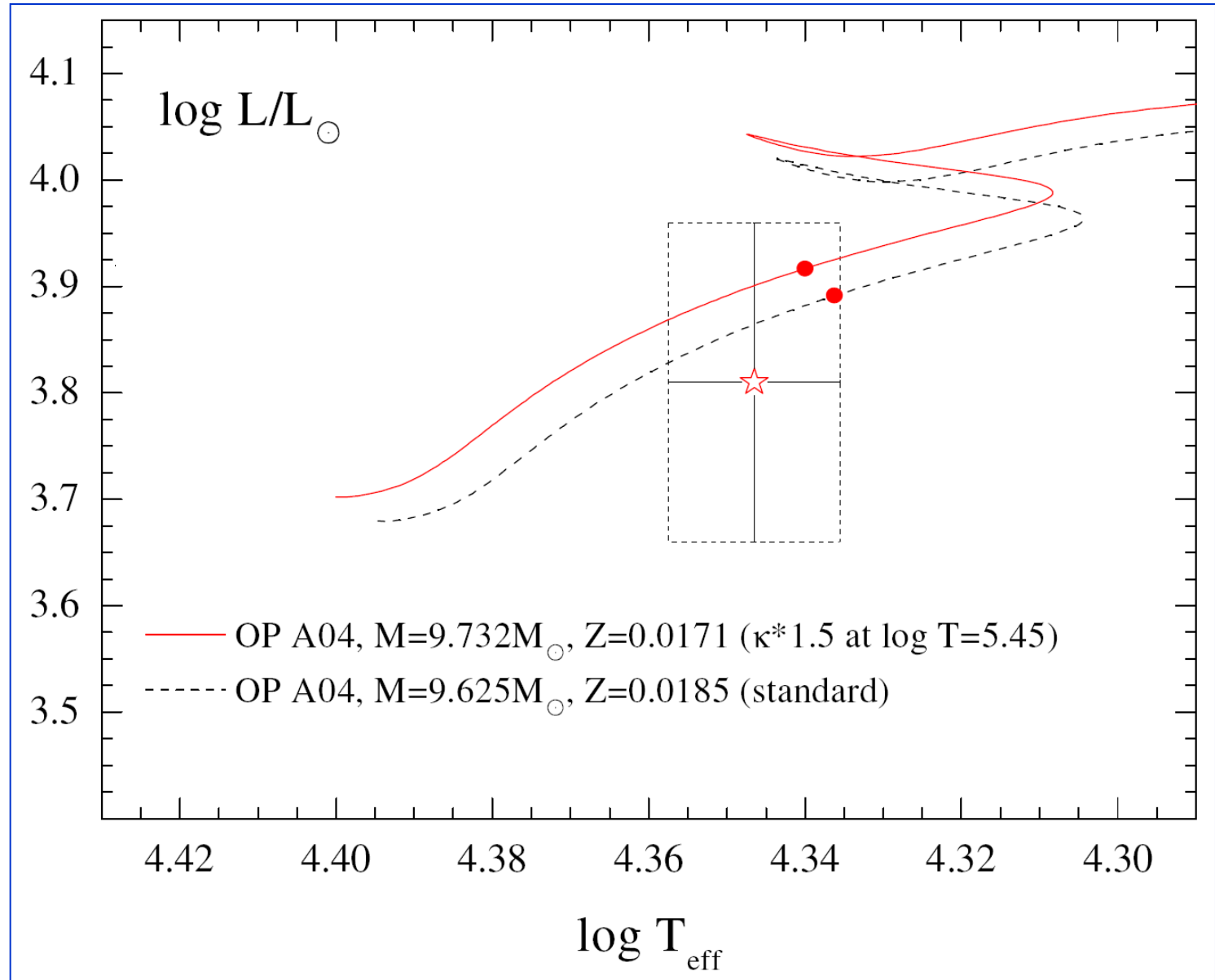
$$\eta = \frac{W}{\int_0^1 \left| \frac{dW}{dr} \right| dr}$$

Instability coefficient
in a standard model
and in the model with
enanced opacity in
the Z bump region

$\eta > 0$ for unstable
modes

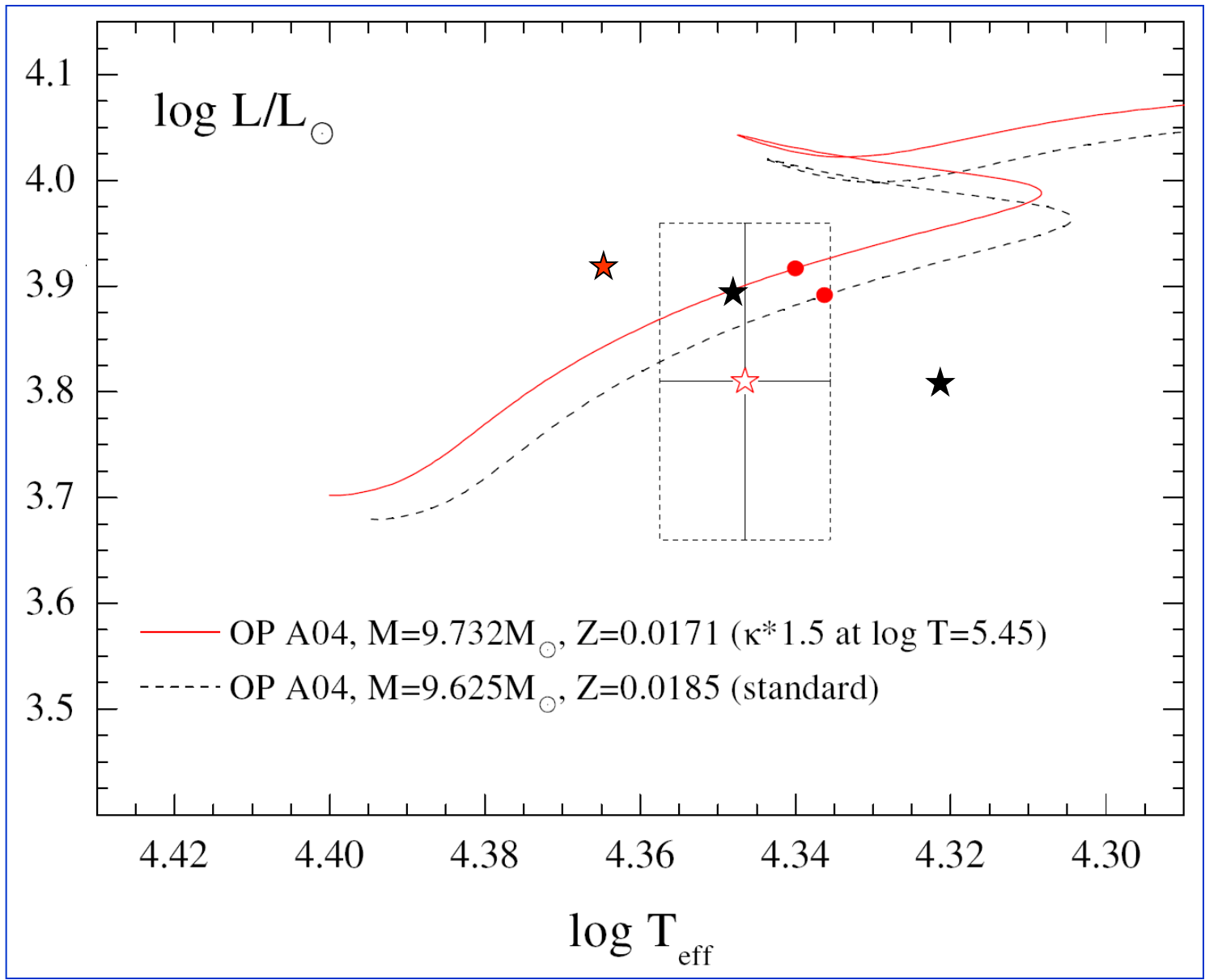


ν Eri : a standard model and the model with enhanced Z bump opacity



ν Eri : a standard model and the model with enhanced Z bump opacity

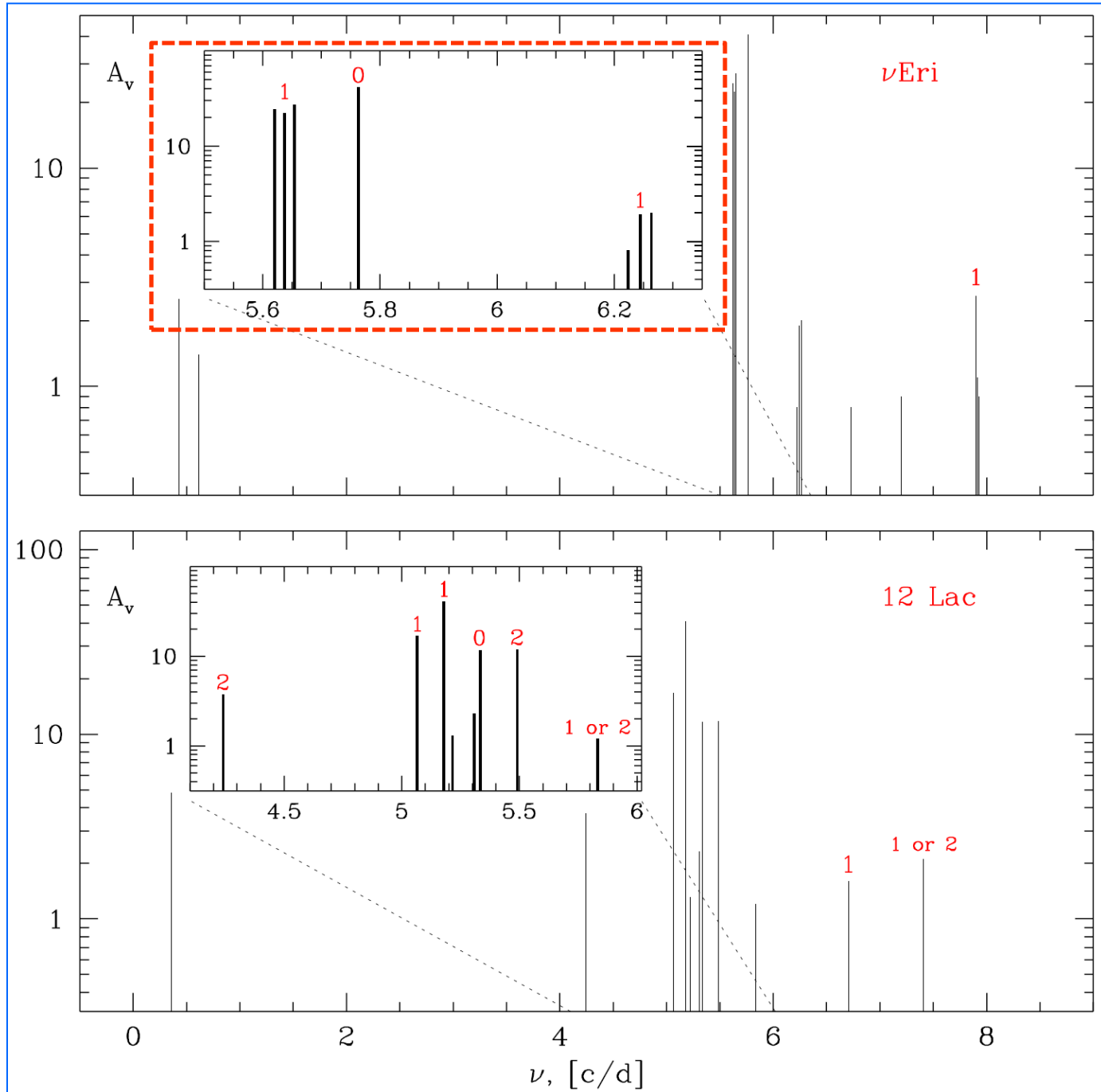
★ - nonstandard models of Ausselos et al. (2004)



Testing rotation in interiors

**Oscillation
spectra of
 ν Eri and 12 Lac**

**Two rotationally
splitted triplets
of $l = 1$ modes
(g1 and p1)**

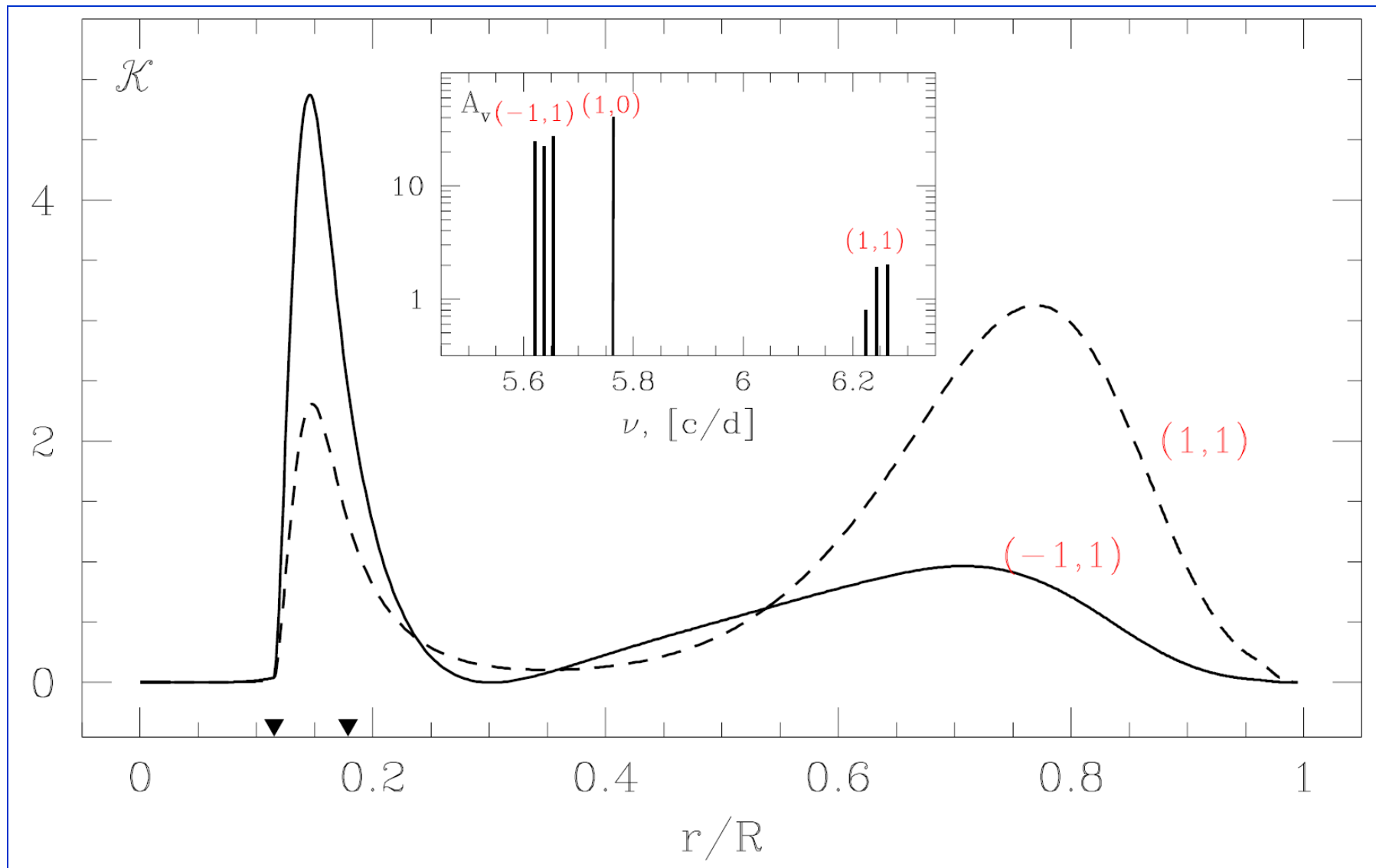


**Dziembowski &
Pamyatnykh 2008**

v Eri: the splitting kernels for two normal modes:
 $l = 1, g1$ (solid line), $l = 1, p1$ (dashed line).
 Triangles mark boundaries of the μ -gradient zone.

$$S \equiv 0.5(\nu_+ - \nu_-) = \int_0^1 dx \mathcal{K}(x) \Omega / 2\pi$$

$$S_g = 0.017, S_p = 0.020 \text{ c/d}$$



Simple rotation law

Results:

$$V_{\text{rot}} = 6 \text{ km / s}$$

$$\Omega_{\text{core}} = 5 * \Omega_{\text{envelope}}$$

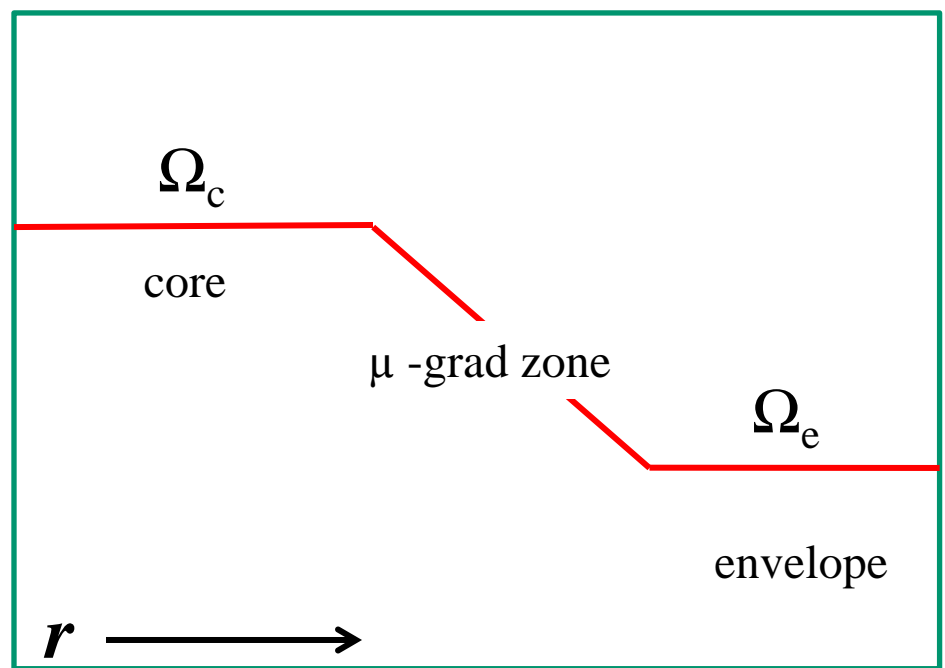


Table 1. The O-C (in cd^{-1}) for the $\ell = 1$, p_2 mode frequencies and the differences between observed effective temperature and that of the seismic model, $\Delta \log T_{\text{eff}} = \log T_{\text{eff,obs}} - \log T_{\text{eff,cal}}$. The observational uncertainty in effective temperature is $\Delta \log T_{\text{eff}} = 0.011$. Models with $\alpha_{\text{ov}} > 0$ were calculated with $w = 8$. V_{rot} is given in km s^{-1} .

κ	Mixture	α_{over}	OC	$\Delta \log T_{\text{eff}}$	Ω_c / Ω_e	V_{rot}
OP	A04	0.0	-0.127	-0.0103	5.55	5.93
OP	GN93	0.0	-0.151	-0.0075	5.36	5.95
OPAL	A04	0.0	-0.188	-0.0044	5.36	5.99
OP	A04	0.1	-0.085	-0.0159	5.82	5.91
OP	A04	0.2	-0.034	-0.0244	5.78	5.93

Summary of results for ν Eridani

- ν Eri has 14 independent modes, the strongest one is the radial fundamental mode, most of the others are $l = 1$ modes.
- Peaks at 0.432 and 0.614 c/d correspond to high-order g-modes (SPB-type pulsations). ν Eri – a hybrid star.
- Rotational splitting of two $l=1$ modes (g1 and p1) can be used to infer **information on internal rotation**. The core rotates approximately 5 times faster than the envelope.
- **Overshooting** from the convective core seems to be ineffective in ν Eri, but the estimate critically depends on the T_{eff} determination.
- For standard opacities **modes at lowest and highest observed frequencies are stable**. An additional **opacity enhancement** around Z bump region may solve the problem.
- A new way of **probing opacity**.

44 Tauri

15 frequencies (degree l is identified for 10 of them),

Sp F2 IV-V,

$m_V = 5.399,$

$p = 16.72 \pm 0.93$ mas,

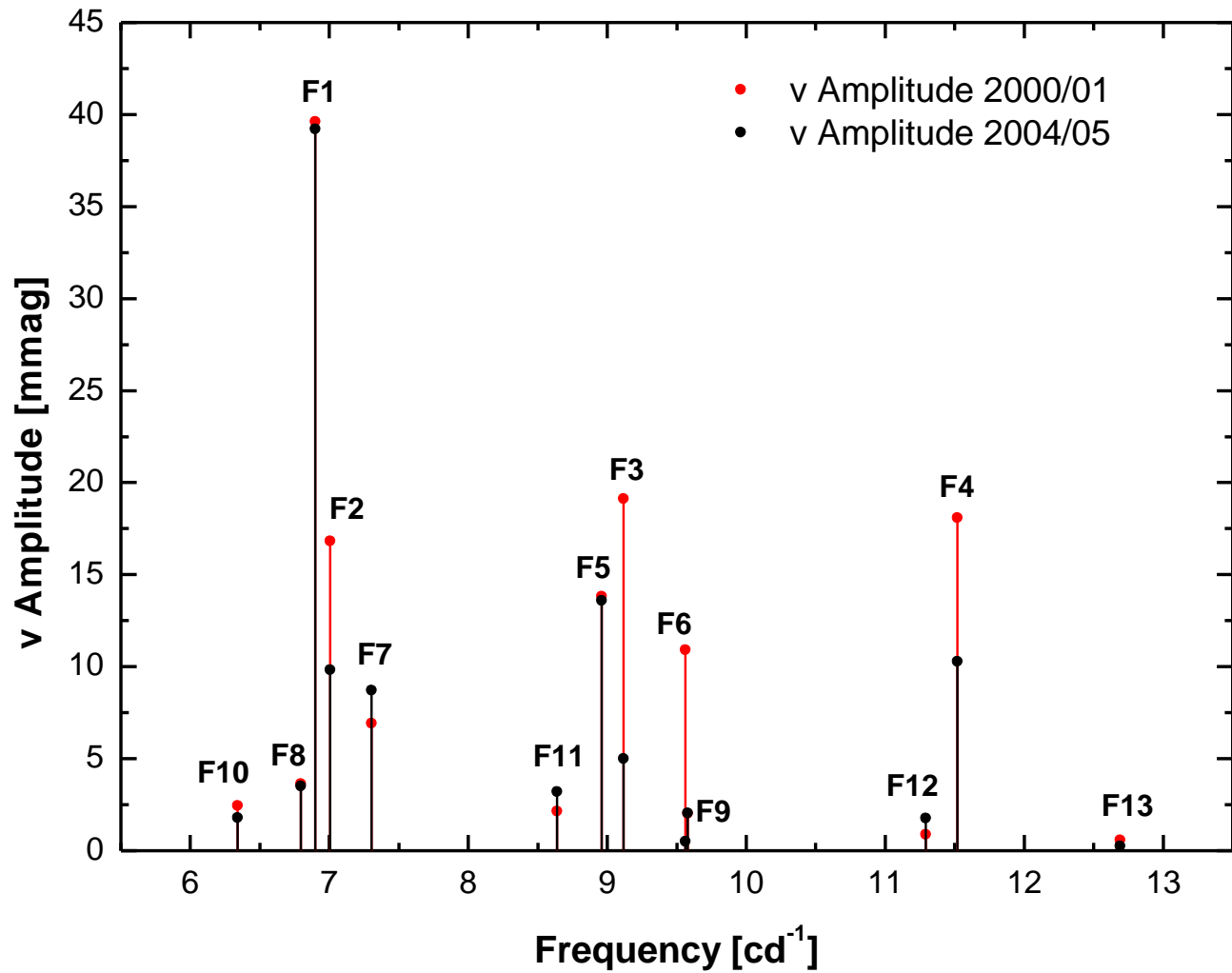
$V_{\text{rot}} = 3 \pm 2$ km/s,

$[m/H] = \text{approx } 0.0,$

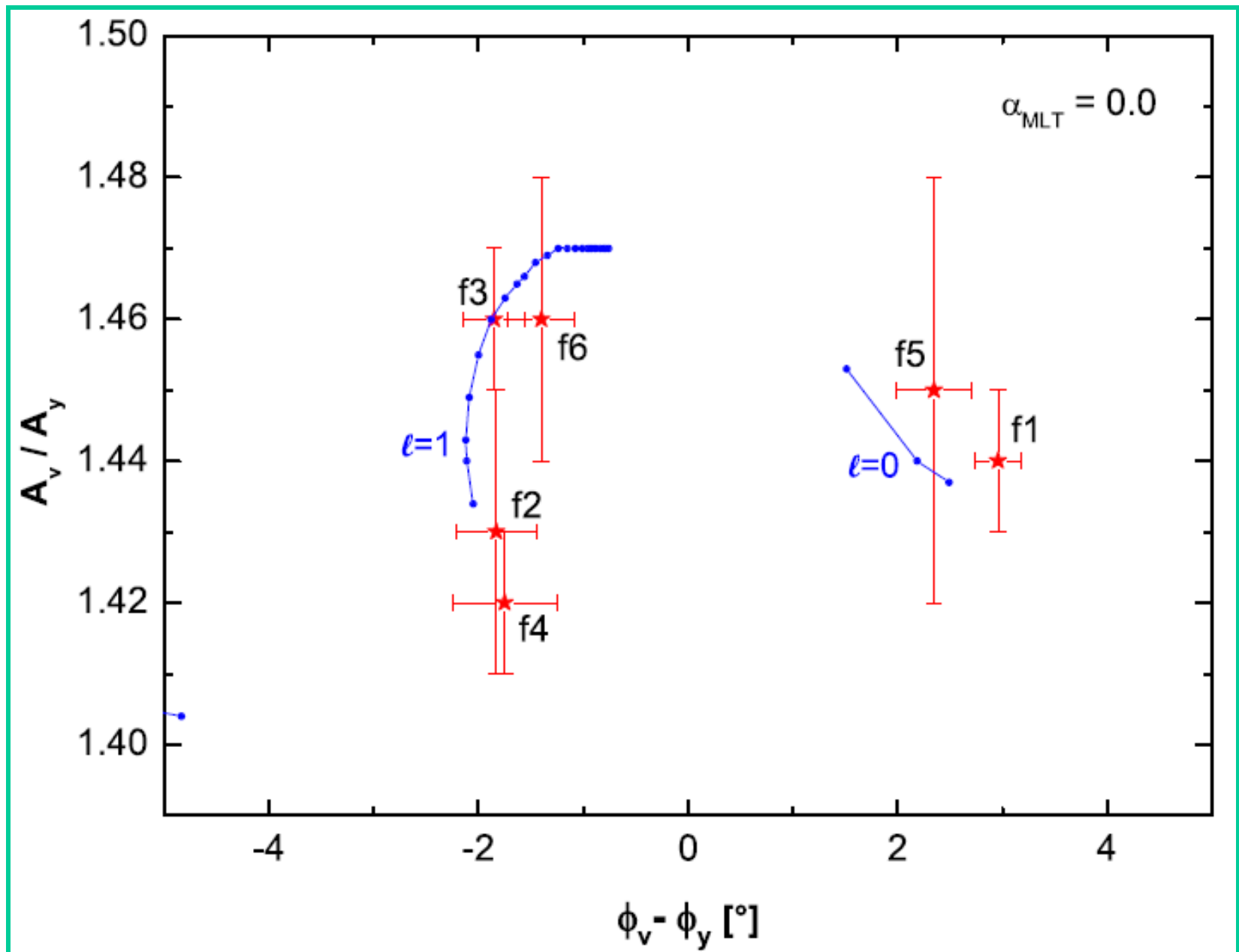
$T_{\text{eff}} = 6900 \pm 100$ K,

$\log g = 3.6 \pm 0.1$

44 Tau



44 Tau, mode identification



Vienna, CGM072

$T = 8000-6000$, $\log g = 4.6-3.0$

Vienna: $\Delta T=200$, $\Delta \log g=0.2$

- FG Vir
- ☆ 44 Tau
- BI CMi

1.5

$(c1)_0$

1

0.5

0

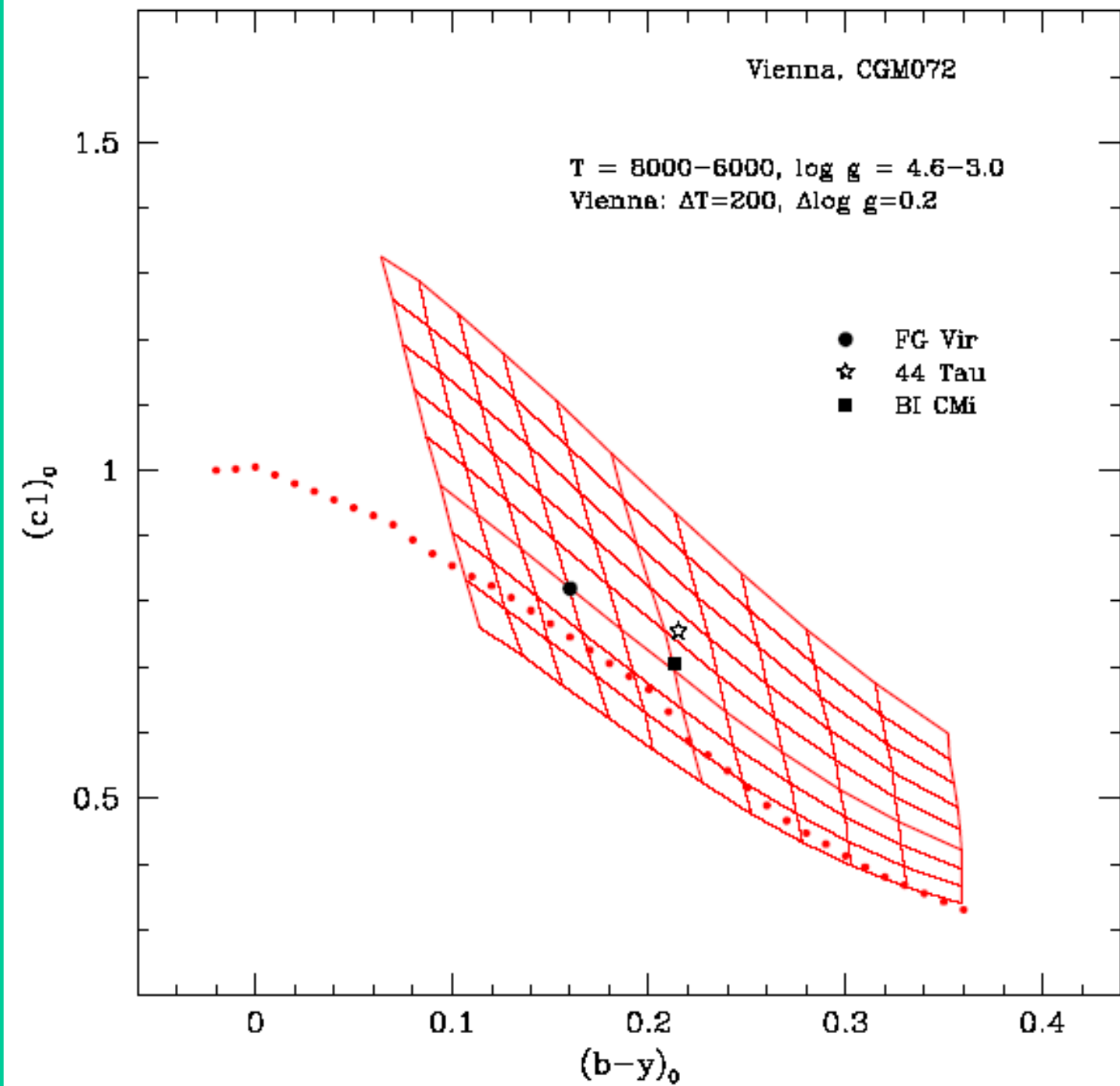
0.1

0.2

0.3

0.4

$(b-y)_0$

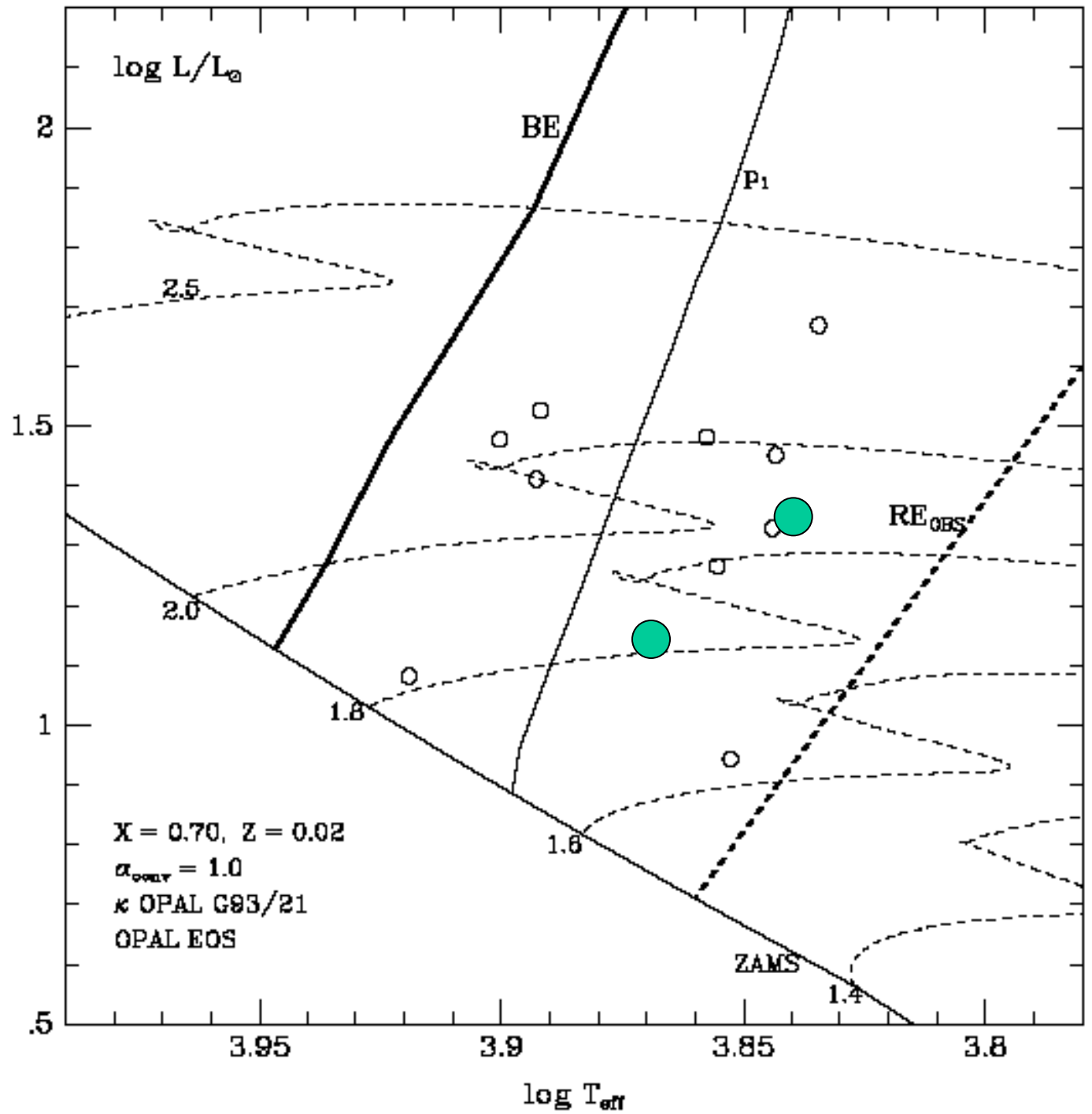


FG Vir (MS)

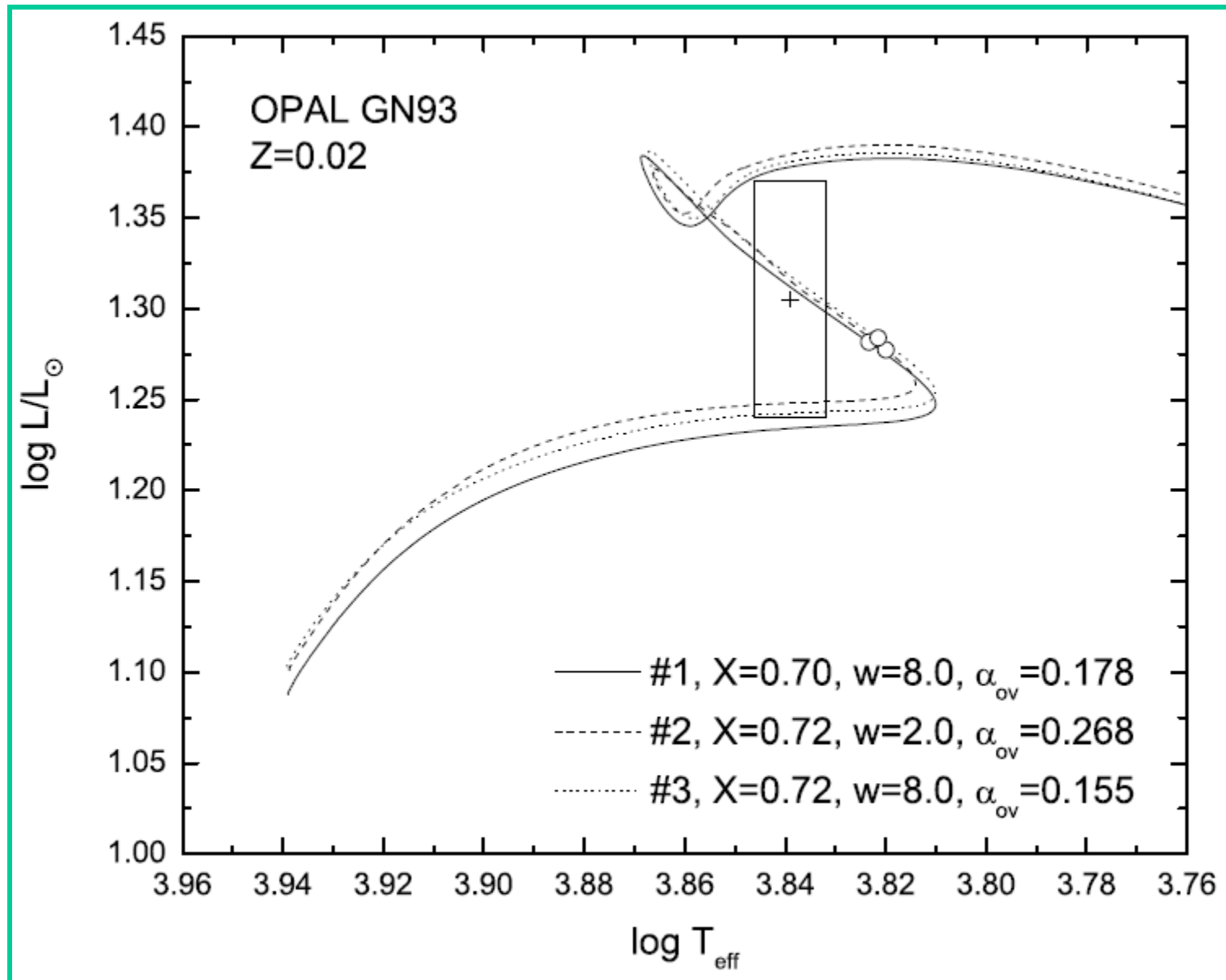
and

**44 Tau
(post-MS)**

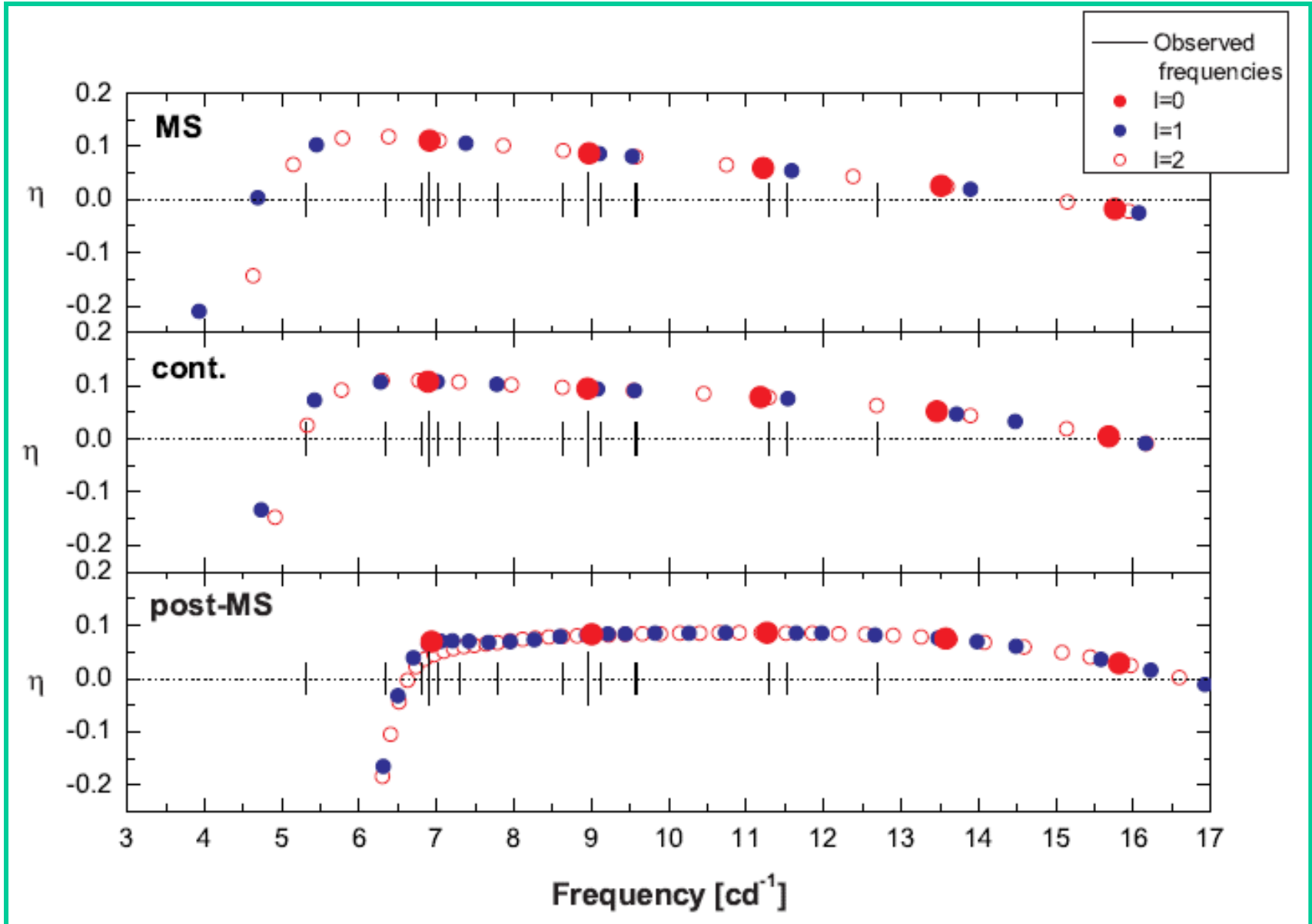
**in the δ Scuti
instability
domain**



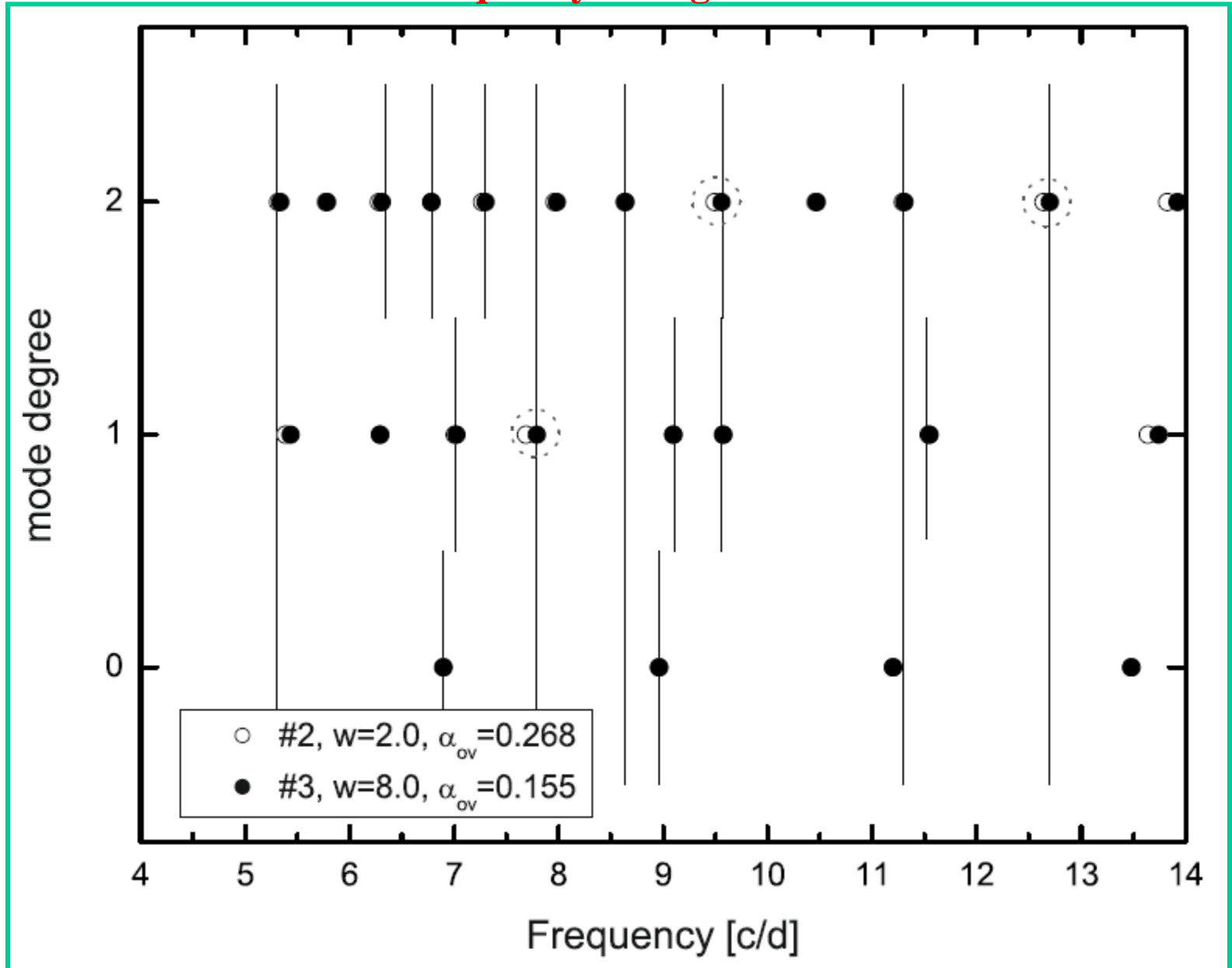
44 Tau, evolutionary tracks for best models



44 Tau, pulsational instability range



44 Tau. Frequency fitting for best models



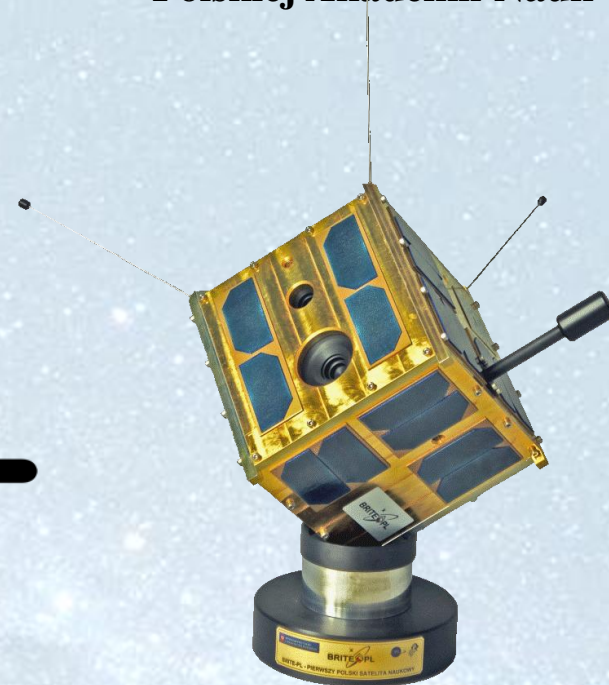


**CENTRUM BADAŃ KOSMICZNYCH
Polskiej Akademii Nauk**



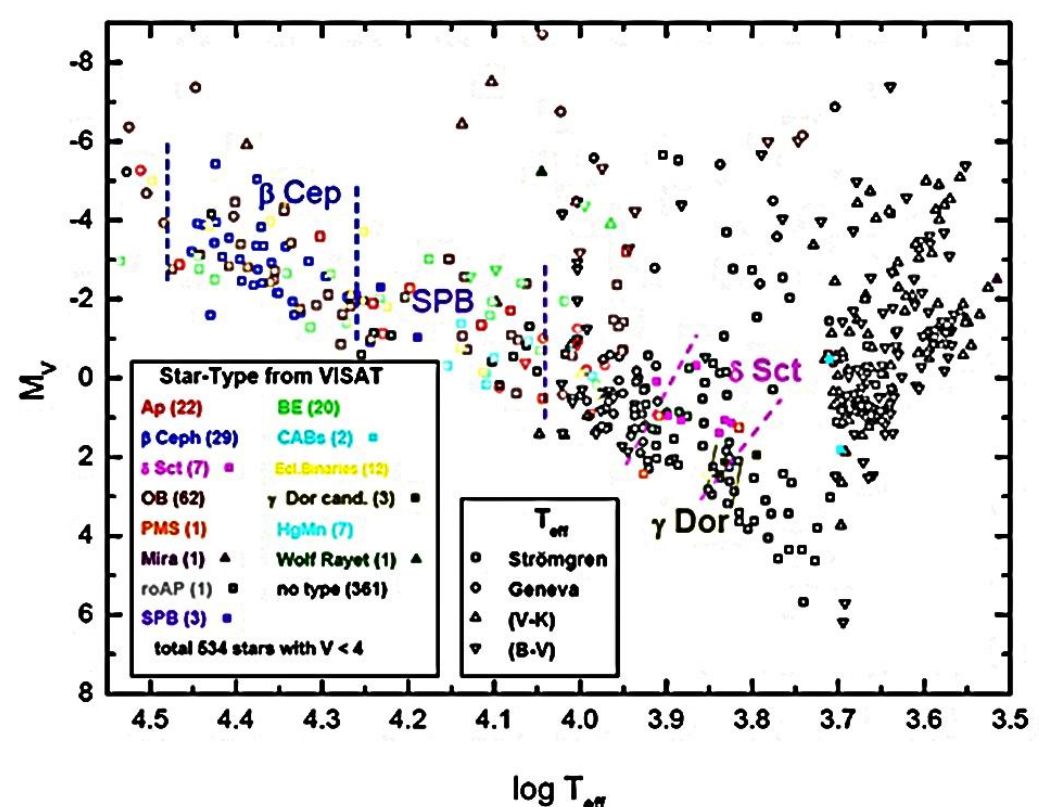
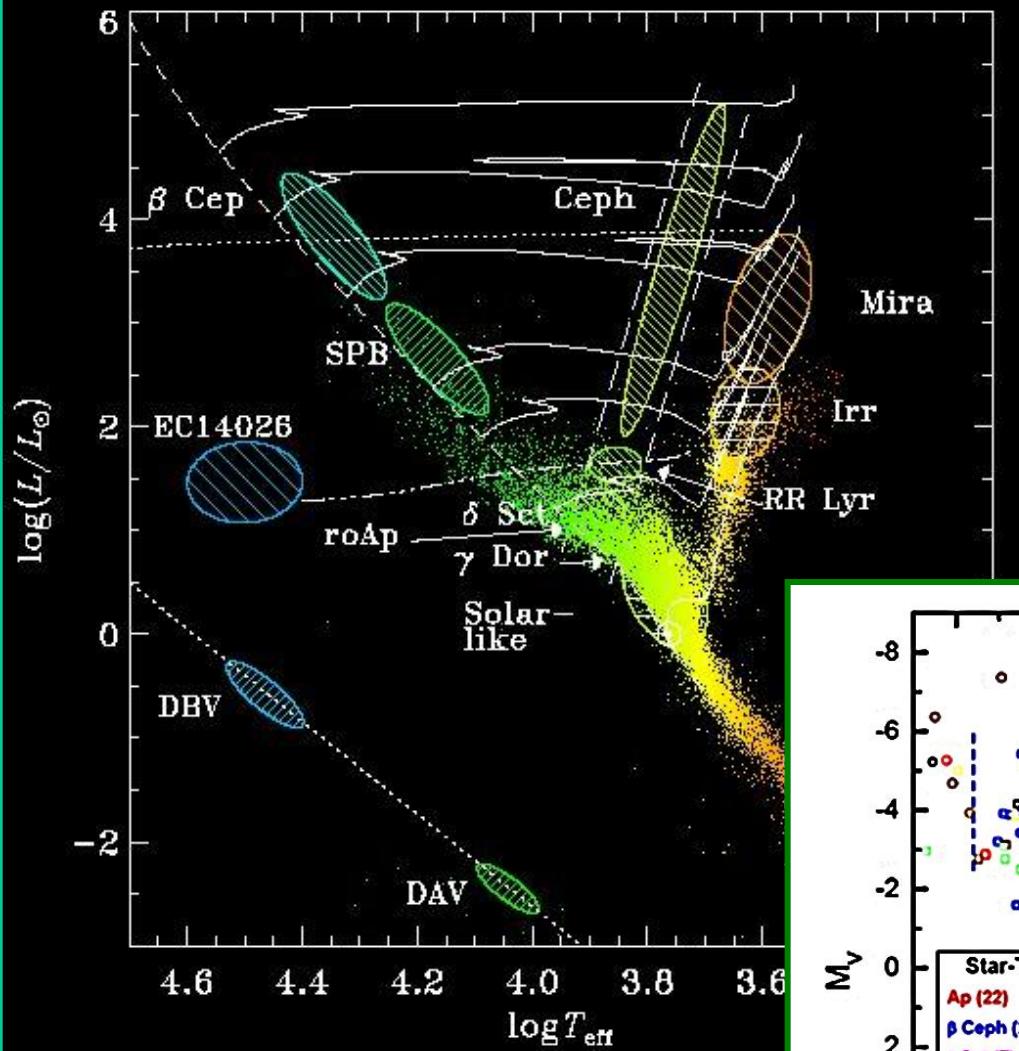
**CENTRUM ASTRONOMICZNE
im. MIKOŁAJA KOPERNIKA
Polskiej Akademii Nauk**

BRITE PL

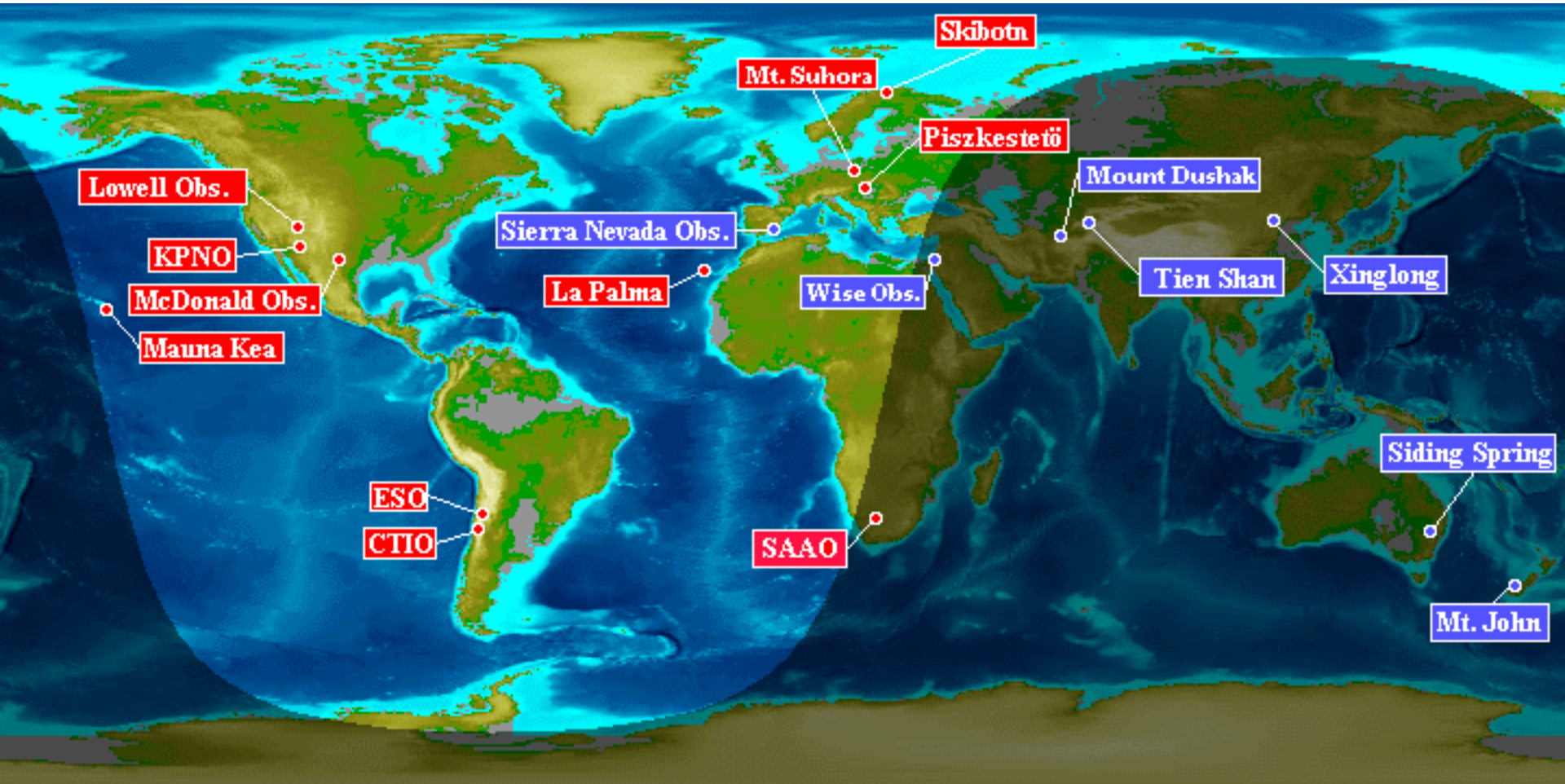


BRITE-PL – Pierwszy Polski Satelita Naukowy

534 gwiazdy jaśniejsze od $V = 4$
mag na diagramie HR



Delta Scuti Network



Satelitey obserwujące pulsacje gwiazd:

MOST (**M**icrovariability and **O**scillations of **S**Tars) (Kanada)

<http://www.astro.ubc.ca/MOST/>

start – 20.03.2003, rosyjska rakieta ROKOT, Plesieck

COROT (**C**onvection + **R**Otation + planetary **T**ransits) (Francja)

<http://smc.cnes.fr/COROT/>

start – 27.12.2006, rosyjska rakieta SOJUZ-2, Bajkonur

Kepler (USA, NASA)

http://www.nasa.gov/mission_pages/kepler/main/index.html

start – 06.03.2009, Delta II, Cape Canaveral

BRITE (**B**Right star **T**arget **E**xplorer) (Kanada, Austria, Polska)

<http://www.brite-constellation.at/index.html>

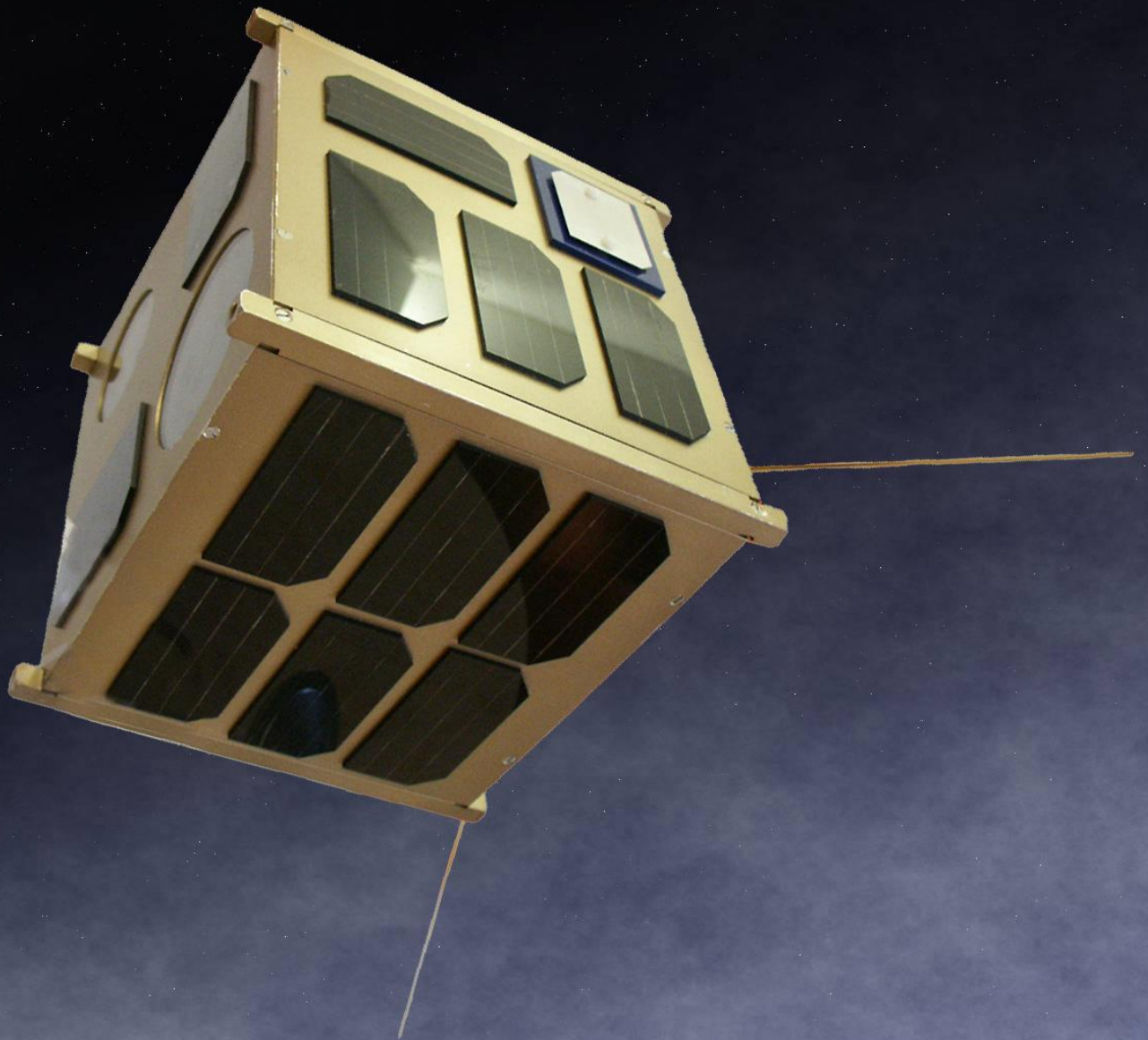
start – jesień 2012 (Austria, indyjska rakieta),

jesień 2012 (Polska, rosyjska rakieta)

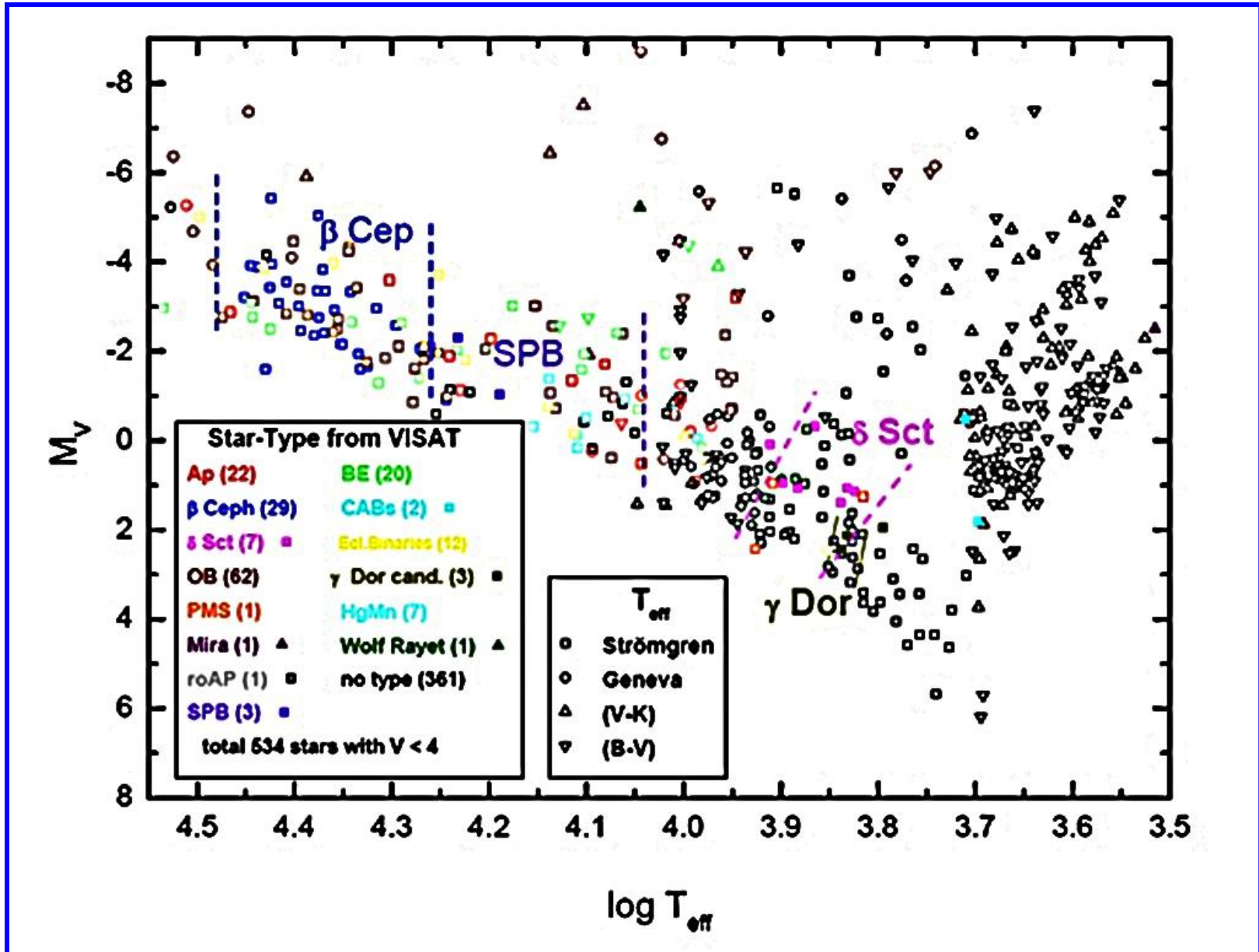
Satelita BRITE

zalety w porównaniu z innymi satelitami:

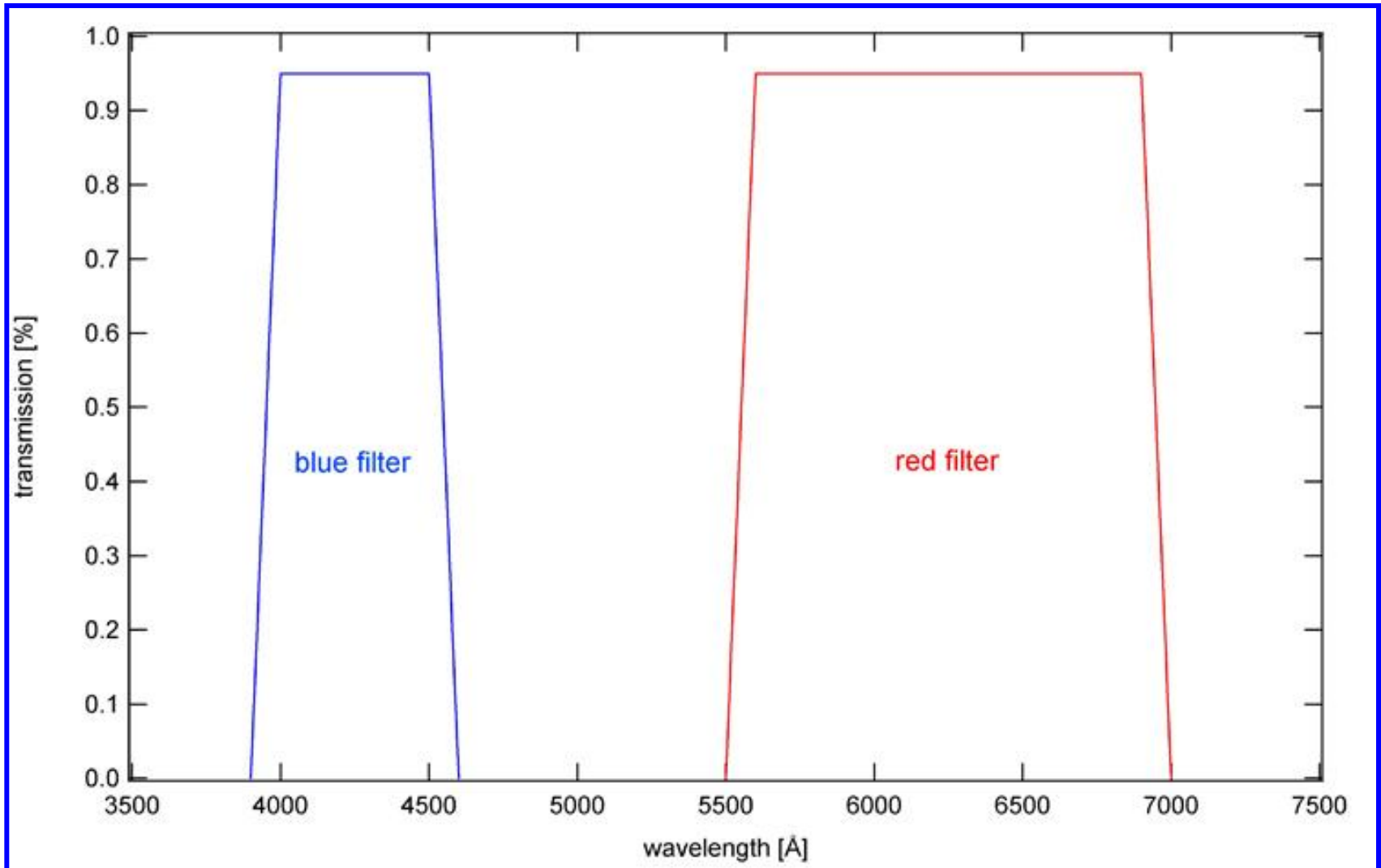
- * bardzo tani projekt,**
- * obiekty z całego nieba,**
- * obserwacje w dwóch kolorach,**
- * jednoczesne obserwacje z kilku teleskopów**



Obiekty dla BRITe



Główna zaleta satelitów BRITE – obserwacje w dwóch kolorach
(trzy satelity obserwują w kolorze **niebieskim, trzy – **czzerwonym**)**



Satelitey BRITE (Austria, Kanada, Polska), główne charakterystyki techniczne:

Waga satelity - 6 kg !

Sześciąt 20 x 20 x 20 cm

Moc elektryczna baterii – 5-10 W

Dokładność utrzymania obrazu – 1 min. luku

Obiektyw, średnica – 3 cm !

Pole widzenia – 24 stopni

Niska orbita nad Ziemią (600-800 km)

Detektory – CCD 4008 x 2672 (10.7 Megapiks.)

Trzy satelity – niebieski filtr (390-460 nm)

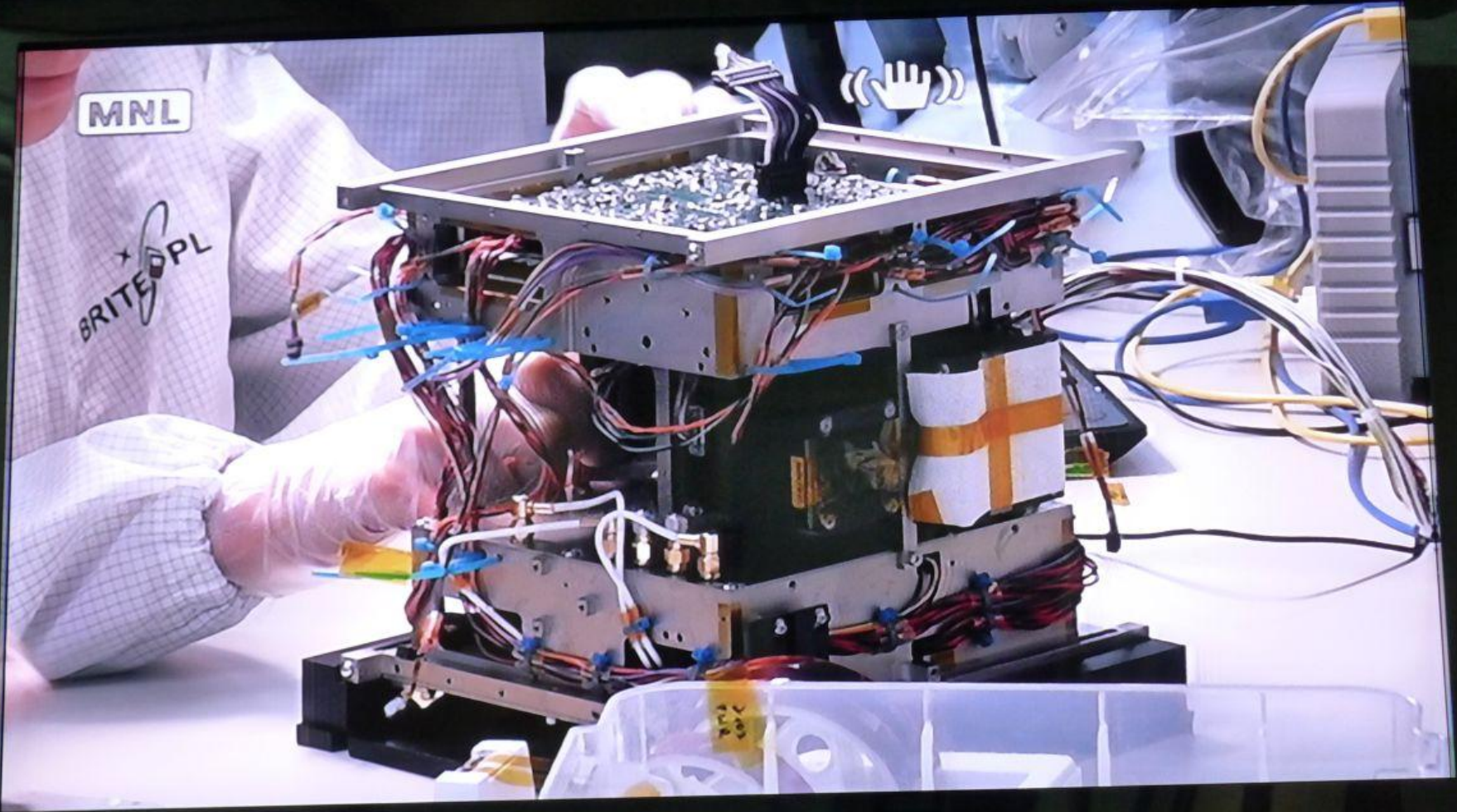
Trzy satelity - czerwony filtr (550-700 nm)

Okres misji kosmicznej – minimum 3 lata

Start – Jesień 2012 (Austria, indyjska rakieta),

Jesień 2012 (Polska, rosyjsko-ukraińska rakieta Dniepr

= SS-18 Szatan, baza wojskowa Jasny)



SAMSUNG









The END

MODY

$$\frac{\delta T}{T} = y_{T,n}(r) Y_\ell^m(\theta, \phi) \exp(-i\omega_{nlm}t)$$

$y_{T,n}(r)$ radialna funkcja własna

$Y_\ell^m(\theta, \phi)$ sferyczna harmonika

n radialny rząd modu

$$\nabla_H^2 Y = -\ell(\ell + 1)Y$$

$n < 0$ mody **g** ($\ell > 0$)

ℓ stopień modu

$n = 0$ mody **f**

$m = -\ell, \dots, 0, \dots, \ell$ rząd azymutalny

$n > 0$ mody **p** ($\ell > 1$)

$$Y_\ell^m(\theta, \phi) = (-1)^m \mathcal{N}_\ell^{|m|} P_\ell^{|m|}(\mu) \exp(im\phi)$$

$$\mathcal{N}_\ell^{|m|} = \sqrt{\frac{(2\ell+1)(\ell-|m|)!}{4\pi(\ell+|m|)!}}$$

$$\mu = \cos \theta$$

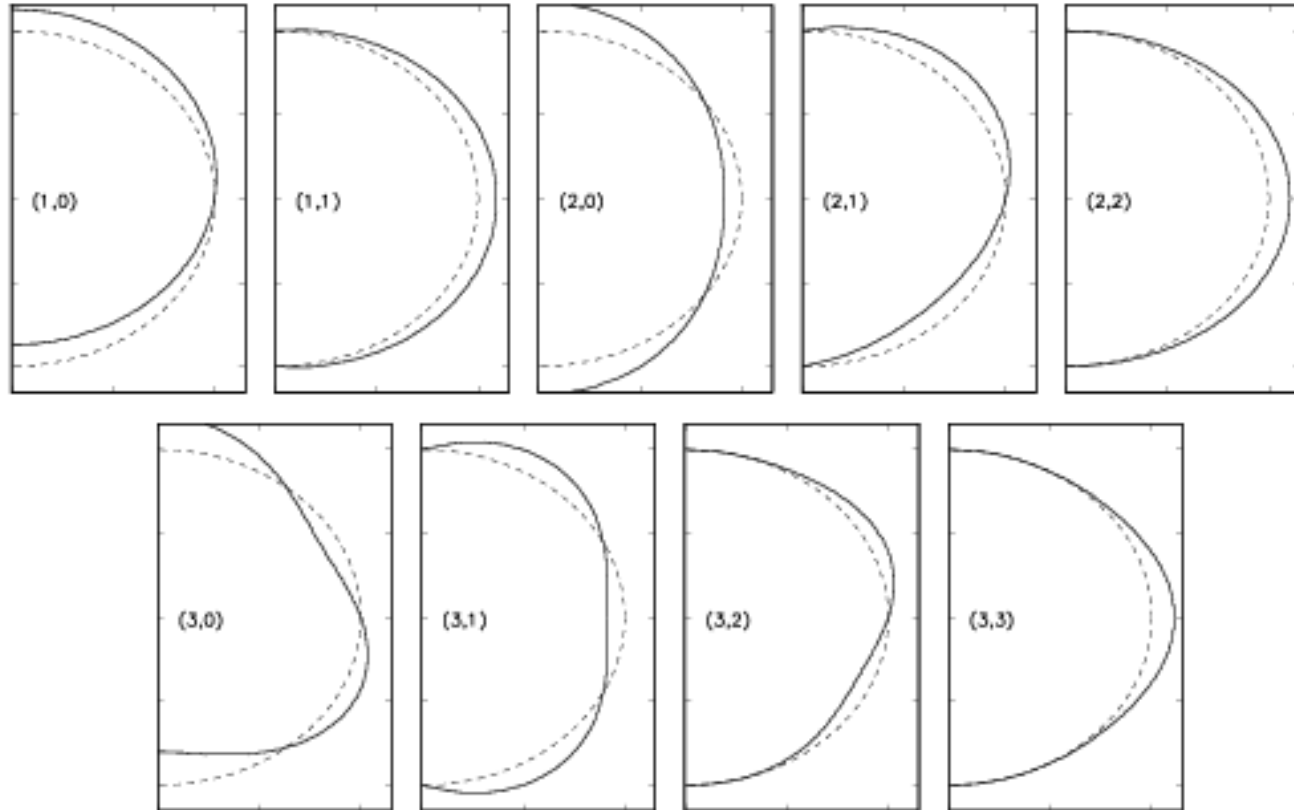
$$P_\ell^{|m|}(\mu) = (1 - \mu^2)^{\frac{|m|}{2}} \frac{d^{|m|} P_\ell}{d\mu^{|m|}}$$

- stowarzyszone funkcje Legendra

$$P_\ell$$

- wielomiany Legendra

Harmoniki sferyczne Y_l^m



czynnik uśredniania amplitudy $<0.1 @ l > 2$ i $<0.01 @ l > 4$